

## भाग \PART 'A'

1. तिवारी और देव एक कार्य को दो घंटे में करते हैं। उसी कार्य को तिवारी और हरी तीन घंटे में पूरा करते हैं। देव और हरी उसी कार्य को 6 घंटे में करते हैं। निम्न में से कौन सा कथन सही नहीं है?

1. तिवारी अकेले तीन घंटे में यह कार्य कर सकता है।
2. देव अकेले 6 घंटे में यह कार्य कर सकता है।
3. हरी कोई कार्य करता ही नहीं।
4. हरी सबसे तेज कार्य करता है।

1. It takes 2 hours for Tiwari and Deo to do a job. Tiwari and Hari take 3 hours to do the same job. Deo and Hari take 6 hours to do the same job. Which of the following statements is **incorrect**?

1. Tiwari alone can do the job in 3 hours
2. Deo alone can do the job in 6 hours
3. Hari does not work at all
4. Hari is the fastest worker

2. अब्दुल, कैथरिन से तिगुनी तथा बिनोय से दोगुनी दूरी चलता है। कैथरिन की चाल अब्दुल की गति का  $1/3$  तथा बिनोय की गति का  $1/2$  है। यदि वे सभी एक साथ चलना प्रारम्भ करते हैं तो सबसे पहले कौन पहुँचता है?

1. अब्दुल और कैथरिन दोनों
2. बिनोय
3. कैथरिन
4. तीनों एक साथ

2. Abdul travels thrice the distance Catherine travels, which is also twice the distance that Binoy travels. Catherine's speed is  $1/3$  of Abdul's speed, which is also  $1/2$  of Binoy's speed. If they start at the same time then who reaches first?

1. Both Abdul and Catherine
2. Binoy
3. Catherine
4. All three together

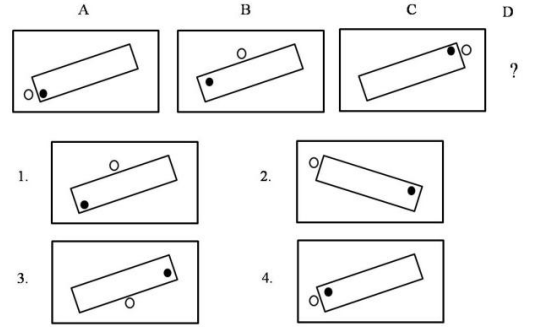
3. एक विशिष्ट व्यवस्थित ठोस पदार्थ के लिए: तलों की संख्या + शीर्षों की संख्या = कोरों की संख्या + 2 है। इस प्रकार के तीन पृथक ठोस (जो एक दूसरे को नहीं छूते) पदार्थों के लिए कुल तलों की संख्या + शीर्षों की संख्या - कोरों की संख्या, कितनी होगी?

1. दो
2. चार
3. छः
4. शून्य

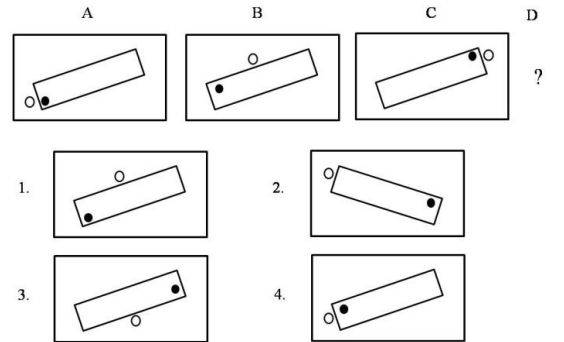
3. For a certain regular solid: number of faces + number of vertices = number of edges+2. For three such distinct (not touching each other) objects, what is the total value of faces + vertices - edges?

1. Two
2. Four
3. Six
4. Zero

4. निम्न क्रम में अगला चित्र क्या होगा?



4. What will be the next figure in the following sequence?



5. एक वृत्त पर बिन्दु A, B, C, D हैं, तथा  $AB=5$  सेंमी.,  $BC=12$  सेंमी.,  $AC=13$  सेंमी. एवं  $AD=7$  सेंमी. है। तब CD का निकटतम मान है:

1. 9 सेंमी.
2. 10 सेंमी.
3. 11 सेंमी.
4. 14 सेंमी.

5. A, B, C, D are points on a circle with  $AB=5$  cm,  $BC=12$  cm,  $AC=13$  cm and  $AD=7$  cm. Then, the closest approximation of CD is

1. 9 cm
2. 10 cm
3. 11 cm
4. 14 cm

6. उस चार अंकों की संख्या का चयन करें जिसमें पहले और चौथे अंकों का गुणनफल 40 है तथा बीच के अंकों का गुणनफल 28 है। इस संख्या के

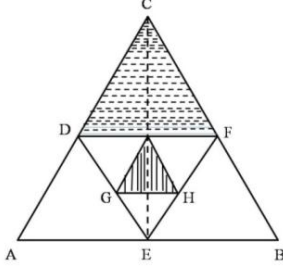
हजारवें स्थान का अंक इकाई के अंक से उतना ही कम है जितना कि सौवें स्थान का अंक दहाई के अंक से है।

1. 5478
2. 5748
3. 8745
4. 8475

6. Choose the four digit number, in which the product of the first & fourth digits is 40 and the product of the middle digits is 28. The thousands digit is as much less than the unit digit as the hundreds digit is less than the tens digit.

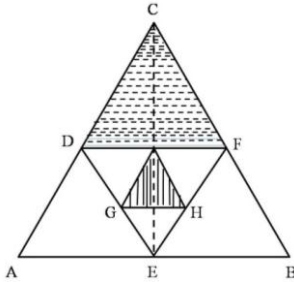
1. 5478
2. 5748
3. 8745
4. 8475

7. समबाहु त्रिभुजों को एक दूसरे के अन्दर चित्र में दिखाये अनुसार बनाया गया है। दो छायांकित क्षेत्रों के क्षेत्रफलों का अनुपात है?



1. 2 : 1
2.  $\sqrt{3} : 4$
3. 4 : 1
4. 8 : 1

7. Equilateral triangles are drawn one inside the other as shown. What is the ratio of the two shaded areas?



1. 2 : 1
2.  $\sqrt{3} : 4$
3. 4 : 1
4. 8 : 1

8. एक मेंढक एक उछाल में ठीक 1 मीटर की दूरी तय करता है। कम से कम कितने उछालों में वह 10 सेंमी. दूरी पर स्थित किसी बिन्दु पर पहुँच सकता है?

1. 1
2. 2
3. 3
4. वह ऐसी दूरी नहीं तय कर सकता।

8. A frog hops and lands exactly 1 meter away at a time. What is the least number of hops required to reach a point 10 cm away?

1. 1
2. 2
3. 3
4. It cannot travel such a distance

9. एक रेलगाड़ी 36 किमी/घंटा से चलते हुए प्लेटफार्म के एक चिन्ह को 8 सेकेन्ड में तथा प्लेटफार्म को 20 सेकेन्ड में पार करती है। प्लेटफार्म की लम्बाई कितनी है?

1. 120 मी.
2. 280 मी.
3. 40 मी.
4. 160 मी.

9. A train running at 36 km/h crosses a mark on the platform in 8 sec and takes 20 sec to cross the platform. What is the length of the platform?

1. 120 m
2. 280 m
3. 40 m
4. 160 m

10. एक बहुपद  $f(x)$  को  $x - 5$  या  $x - 3$  या  $x - 2$  से भाजित करने पर 1 का शेष मिलता है। निम्न में से यह बहुपद कौन-सा हो सकता है?

1.  $x^3 - 10x^2 + 31x + 31$
2.  $x^3 - 10x^2 + 31x - 29$
3.  $x^3 - 10x^2 + 31x - 31$
4.  $x^3 - 10x^2 + 31x + 29$

10. When a polynomial  $f(x)$  is divided by  $x - 5$  or  $x - 3$  or  $x - 2$  it leaves a remainder of 1. Which of the following would be the polynomial?

1.  $x^3 - 10x^2 + 31x + 31$
2.  $x^3 - 10x^2 + 31x - 29$
3.  $x^3 - 10x^2 + 31x - 31$
4.  $x^3 - 10x^2 + 31x + 29$

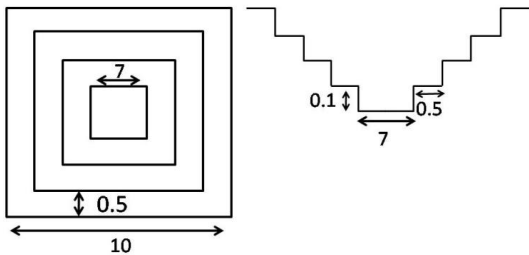
11. प्रारम्भ में पानी से पूरे भरे हुए एक गोले की तली में स्थित एक छोटे छिद्र से पानी धीरे-धीरे टपक रहा है। यदि बाहर बह गये पानी को अनदेखा करें तब इस तंत्र का द्रव्यमान केन्द्र

1. गोले के केन्द्र में ही स्थित रहता है।
2. पानी की मात्रा घटने के साथ अनवरत नीचे खिसकता जाता है।

3. कुछ समय के लिए नीचे जाता है अंततः गोले के केन्द्र पर वापस आ जाता है।  
4. आधा पानी समाप्त होने तक नीचे खिसकता जाता है तथा उसके बाद ऊपर जाता है।

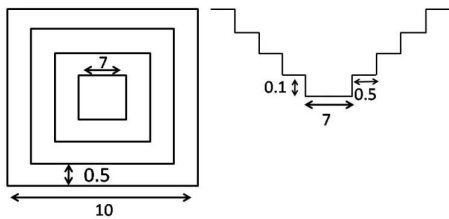
11. Water is slowly dripping out of a tiny hole at the bottom of a hollow metallic sphere initially full of water. Ignoring the water that has flowed away, the centre of mass of the system
1. remains fixed at the centre of the sphere
  2. moves down steadily as the amount of water decreases
  3. moves down for some time but eventually returns to the centre of the sphere
  4. moves down until half of the water is lost and then moves up

12. एक वर्गाकार बहिर्रेखा वाले तालाब जिसमें 0.5 मी. समान चौड़ाई तथा 0.1 मी. समान ऊँचाई की सीढ़ियां बनी हैं, उसका शीर्ष दृश्य व अनुप्रस्थ काट दृश्य (मापक्रम के अनुसार नहीं) दर्शाये गये हैं। जब तालाब पूर्ण रूप से भरा है, तब उसके पानी का आयतन (घन मी. में) कितना होगा?



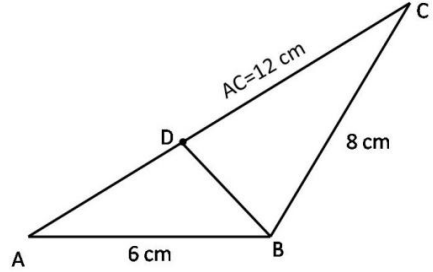
1. 40.0  
2. 29.4  
3. 19.4  
4. 11.3

12. The diagram (not to scale) shows the top view and cross section of a pond having a square outline and equal sized steps of 0.5 m width and 0.1m height. What will be the volume of water (in  $m^3$ ) in the pond when it is completely filled?



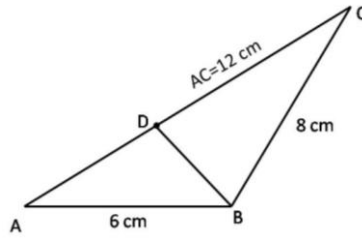
1. 40.0  
2. 29.4  
3. 19.4  
4. 11.3

13. दिए गए त्रिभुज में भुजा AC पर एक बिन्दु D इस प्रकार है कि  $\angle ADB = \angle ABC$ , भुजा BD की लंबाई (सेंमी. में) है



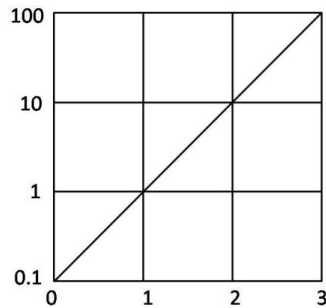
1. 8  
2. 6  
3. 3  
4. 4

13. D is a point on AC in the following triangle such that  $\angle ADB = \angle ABC$ . Then BD (in cm) is



1. 8  
2. 6  
3. 3  
4. 4

14. चित्र में फलन  $f(x)$  को  $x$  के साथ दर्शाया गया है।  $x = -1$  पर बहिर्वेशन द्वारा फलन का मान ज्ञात कीजिये



1. -0.01  
2. -0.1  
3. 0.01  
4. 0.1



Allowing for experimental errors, which of the following expressions best describes the relationship between  $t$  and  $v$ ?

1.  $v \propto t^2$
2.  $(v - 5) \propto t^2$
3.  $v = 5t + t^2$
4.  $(v - 5) = (t + 5)^2$

19. एक पिता व पुत्र की आयु (पूर्ण वर्षों में) के वर्गों का अंतर 899 है। जब पुत्र का जन्म हुआ उस समय पिता की आयु थी।

1. अपूर्ण आंकड़ों के कारण ज्ञात नहीं की जा सकती
2. 27 वर्ष
3. 29 वर्ष
4. 31 वर्ष

19. The difference between the squares of the ages (in complete years) of a father and his son is 899. The age of the father when his son was born

1. cannot be ascertained due to inadequate data.
2. is 27 years.
3. is 29 years.
4. is 31 years.

20. एक साइकिल ट्यूब की माध्य परिधि 200 सेमी. है तथा इसके वृत्तीय अनुप्रस्थ काट का व्यास 6 सेमी. है। यह मानते हुए कि ट्यूब फैलता नहीं है, इसे पूर्णरूप से भरने के लिए पानी का लगभग कितना आयतन (घन सेमी. में) चाहिये?

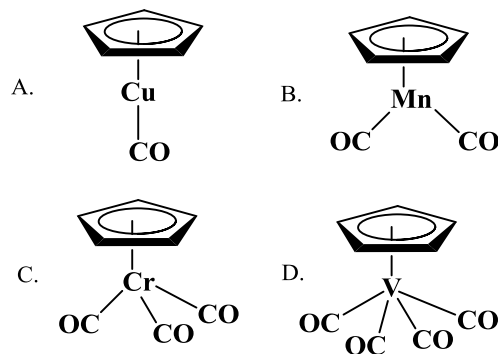
1.  $600 \pi$
2.  $1200 \pi$
3.  $3600 \pi$
4.  $1800 \pi$

20. A bicycle tube has a mean circumference of 200 cm and a circular cross section of diameter 6 cm. What is the approximate volume of water (in cc) required to completely fill the tube, assuming that it does not expand?

1.  $600 \pi$
2.  $1200 \pi$
3.  $3600 \pi$
4.  $1800 \pi$

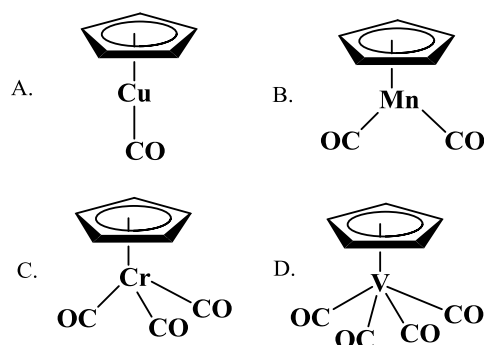
## भाग \ PART 'B'

21. निम्नलिखित में से वह स्पीशीज पहिचानिए जो 18 इलेक्ट्रॉन नियम का अनुसरण करती हैं:



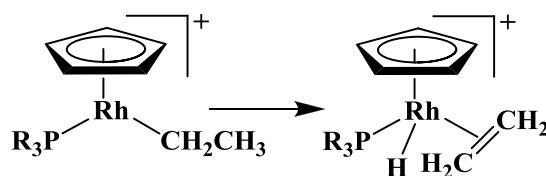
1. A तथा B
2. B तथा C
3. C तथा D
4. A तथा D

21. Identify the species, those obey the 18 electron rule, from the following:



1. A and B
2. B and C
3. C and D
4. A and D

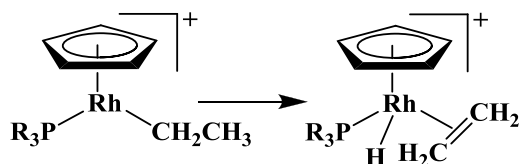
22. निम्नलिखित रूपांतरण



जिसका एक उदाहरण है, वह है

1. उपचायी संकलन
2. निवेशन
3.  $\beta$ -हाइड्राइड विलोपन
4. अपचायक विलोपन

22. The following transformation



is an example of

1. oxidative addition
2. insertion
3.  $\beta$ -hydride elimination
4. reductive elimination

23.  $[\text{Ni}^{\text{II}}\text{L}_6]^{n+ \text{ or } n-}$  अवशोषण बैंड 8500, 15400, तथा 26000  $\text{cm}^{-1}$  पर दर्शाता है जबकि  $[\text{Ni}^{\text{II}}\text{L}'_6]^{n+ \text{ or } n-}$ , 10750, 17500, तथा 28200  $\text{cm}^{-1}$  पर दर्शाता है। L तथा L' हैं, क्रमशः

1.  $\text{OH}^-$  तथा  $\text{N}_3^-$
2.  $\text{Cl}^-$  तथा  $\text{I}^-$
3.  $\text{NCS}^-$  तथा  $\text{RCO}_2^-$
4.  $\text{H}_2\text{O}$  तथा  $\text{NH}_3$

23.  $[\text{Ni}^{\text{II}}\text{L}_6]^{n+ \text{ or } n-}$  shows absorption bands at 8500, 15400, and 26000  $\text{cm}^{-1}$  whereas  $[\text{Ni}^{\text{II}}\text{L}'_6]^{n+ \text{ or } n-}$ , at 10750, 17500, and 28200  $\text{cm}^{-1}$ . L and L' are respectively,

1.  $\text{OH}^-$  and  $\text{N}_3^-$
2.  $\text{Cl}^-$  and  $\text{I}^-$
3.  $\text{NCS}^-$  and  $\text{RCO}_2^-$
4.  $\text{H}_2\text{O}$  and  $\text{NH}_3$

24.  $^3\text{F}$  पद में उपस्थित माइक्रोस्टेटों की संख्या है

1. 3
2. 21
3. 9
4. 28

24. The number of microstates present in  $^3\text{F}$  term is

1. 3
2. 21
3. 9
4. 28

25. BH खंड से आइसोलोबल CpM [Cp is  $(\eta^5\text{-C}_5\text{H}_5)$ ] खंड है

1. CpGe
2. CpMn
3. CpRu
4. CpCo

25. CpM [Cp is  $(\eta^5\text{-C}_5\text{H}_5)$ ] fragment isolobal with a BH fragment is

1. CpGe
2. CpMn
3. CpRu
4. CpCo

26.  $[\text{Co}_2\text{Fe}_2(\text{CO})_{11}(\mu_4\text{-PPh})_2]$  में धातु-धातु आवन्धों की संख्या है।

1. 3
2. 4
3. 5
4. 6

26. The number of metal-metal bonds in  $[\text{Co}_2\text{Fe}_2(\text{CO})_{11}(\mu_4\text{-PPh})_2]$  is

1. 3
2. 4
3. 5
4. 6

27.  $\text{B}_2$  अणु के लिए  $\pi$  तथा  $\pi^*$  आर्बिटलों का उचित संयोग है

- |    | $\pi$ | $\pi^*$ |
|----|-------|---------|
| 1. | सम    | विषम    |
| 2. | विषम  | सम      |
| 3. | सम    | सम      |
| 4. | विषम  | विषम    |

27. Correct combination for  $\pi$  and  $\pi^*$  orbitals in  $\text{B}_2$  molecule is

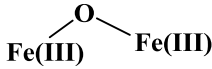
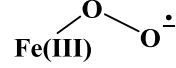
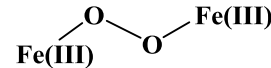
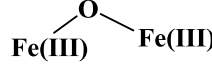
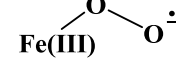
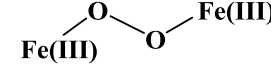
- |    | $\pi$    | $\pi^*$  |
|----|----------|----------|
| 1. | Gerade   | Ungerade |
| 2. | Ungerade | Gerade   |
| 3. | Gerade   | Gerade   |
| 4. | Ungerade | Ungerade |

28. VSEPR सिद्धांत के आधार पर  $[\text{TeF}_5]^-$  आयन की जो सही आकृति है, वह है

1. त्रिसमनताक्ष द्विपिरैमिडीय
2. वर्ग पिरैमिडीय
3. पंच समनताक्ष समतलीय
4. ढेकुली

28. The correct shape of  $[\text{TeF}_5]^-$  ion on the basis of VSEPR theory is

1. Trigonal bipyramidal
2. Square pyramidal
3. Pentagonal planar
4. See-saw

29. P-S तथा P-P आबन्धों की संख्या यौगिक  $P_4S_3$  में है क्रमशः
1. 6 तथा 3
  2. 4 तथा 3
  3. 3 तथा 6
  4. 6 तथा 2
29. The numbers of P-S and P-P bonds in the compound  $P_4S_3$  are, respectively,
1. 6 and 3
  2. 4 and 3
  3. 3 and 6
  4. 6 and 2
30. सोडियम थायोसल्फेट ( $Na_2S_2O_3$ ) के, अम्लीय डाइक्रोमेट विलयन से आयडोमिति अनुमापन में 0.1 M डाइक्रोमेट के 25 mL के लिए 'x' M थायोसल्फेट के 25 mL की आवश्यकता होती है। 'x' का मान है
1. 0.2
  2. 0.1
  3. 0.6
  4. 0.4
30. In the iodometric titration of sodium thiosulfate ( $Na_2S_2O_3$ ) with acidic dichromate solution, 25 mL of 0.1 M dichromate requires 25 mL of 'x' M thiosulfate. The value of 'x' is
1. 0.2
  2. 0.1
  3. 0.6
  4. 0.4
31.  $CaCO_3$  के तापभारत्मक विश्लेषण में अपघटन ताप जिस गतिक एटमोस्फियर में सर्वाधिक होगा, वह है
1. नाइट्रोजन
  2. संश्लेषण गैस
  3.  $O_2$  तथा CO का 1:1 मिश्रण
  4. जल गैस
31. Decomposition temperature of  $CaCO_3$  in thermogravimetric analysis will be highest in dynamic atmosphere of
1. nitrogen
  2. synthesis gas
  3. 1:1 mixture of  $O_2$  and CO
  4. water gas
32.  ${}_{56}Ba^{131}$  दो क्रमिक इलेक्ट्रॉन परिग्रहण के पश्चात् देगा
1.  ${}_{54}Xe^{131}$
  2.  ${}_{54}Xe^{130}$
  3.  ${}_{56}Ce^{131}$
  4.  ${}_{56}Ce^{130}$
32. On two sequential electron capture,  ${}_{56}Ba^{131}$  will give
1.  ${}_{54}Xe^{131}$
  2.  ${}_{54}Xe^{130}$
  3.  ${}_{56}Ce^{131}$
  4.  ${}_{56}Ce^{130}$
33. यौगिक जो  $POCl_3$  में विलय के पश्चात् एक सर्वाधिक क्लोराइड आयन सांद्रता का विलयन देता है, वह है
1.  $Et_3N$
  2. KCl
  3.  $FeCl_3$
  4.  $SbCl_5$
33. The compound which dissolves in  $POCl_3$  to give a solution with highest chloride ion concentration, is
1.  $Et_3N$
  2. KCl
  3.  $FeCl_3$
  4.  $SbCl_5$
34. बंधित ग्लोबिन चेन की अनुपस्थिति में; हीम ग्रुप  $O_2$  से प्रभावन पर जो आयरन-ऑक्सीजन स्पीशीज देता है, वह है
1. 
  2. 
  3. 
  4.  $Fe(IV)=O$
34. In the absence of bound globin chain, heme group on exposure to  $O_2$  gives the iron-oxygen species
1. 
  2. 
  3. 
  4.  $Fe(IV)=O$
35. मोनो ऋणायनिक संकुल  $[UO_2(NO_3)_3]^-$  के लिए सही समन्वय संख्या तथा ज्यामिति हैं क्रमशः
1. 8 तथा षटकोणीय द्विपिरैमिडीय
  2. 5 तथा वर्ग पिरैमिडीय
  3. 8 तथा वर्ग प्रतिप्रिज़्म
  4. 5 तथा त्रिसमानताक्ष द्विपिरैमिडीय
35. For monoionic complex  $[UO_2(NO_3)_3]^-$ , the correct coordination number and geometry respectively, are
1. 8 and hexagonal bipyramidal
  2. 5 and square pyramidal
  3. 8 and square antiprism
  4. 5 and trigonal bipyramidal

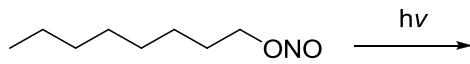
## 36. कीलेट प्रभाव

1. मुख्यरूप से एन्थैल्पी में परिवर्तन के कारण है
2. मुख्यरूप से एन्ट्रॉपी में परिवर्तन के कारण है
3. बलय साइज से स्वतंत्र है
4. एन्थैल्पी तथा एन्ट्रॉपी में परिवर्तन के समान योगदान से होता है

## 36. Chelate effect is

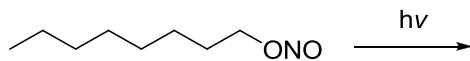
1. predominantly due to enthalpy change
2. predominantly due to entropy change
3. independent of ring size
4. due to equal contribution of entropy and enthalpy change

## 37. निम्नलिखित अभिक्रिया में उत्पन्न मुख्य उत्पाद है



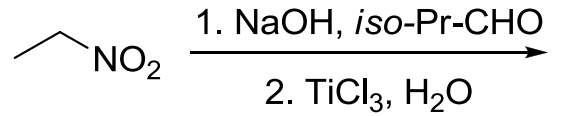
- 1.
- 2.
- 3.
- 4.

## 37. The major product formed in the following reaction is



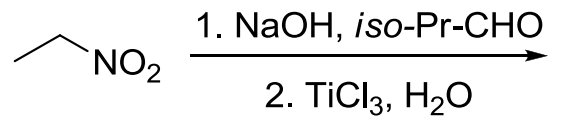
- 1.
- 2.
- 3.
- 4.

## 38. निम्नलिखित अभिक्रिया में उत्पन्न मुख्य उत्पाद है



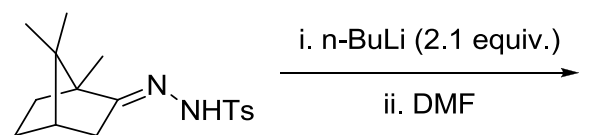
- 1.
- 2.
- 3.
- 4.

## 38. The major product formed in the following reaction is

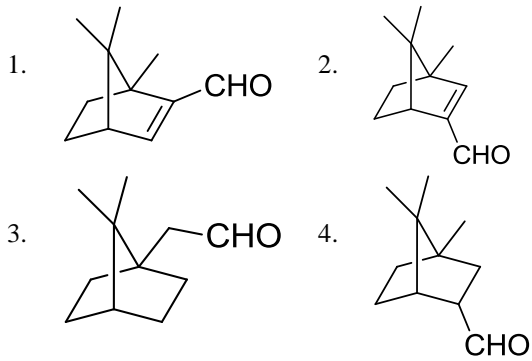


- 1.
- 2.
- 3.
- 4.

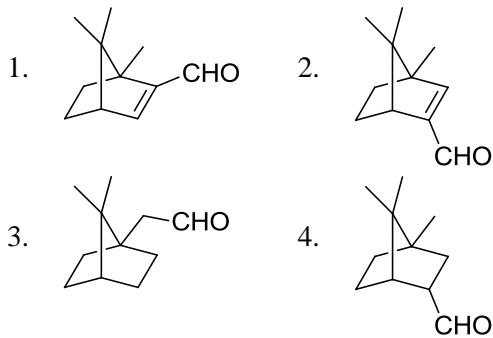
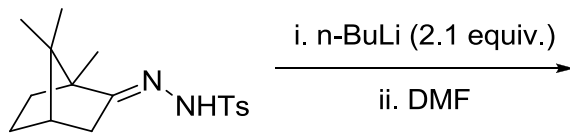
## 39. निम्नलिखित अभिक्रिया में उत्पन्न मुख्य उत्पाद है



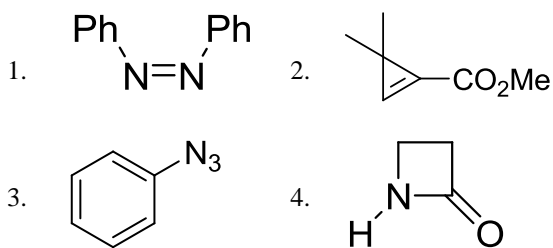




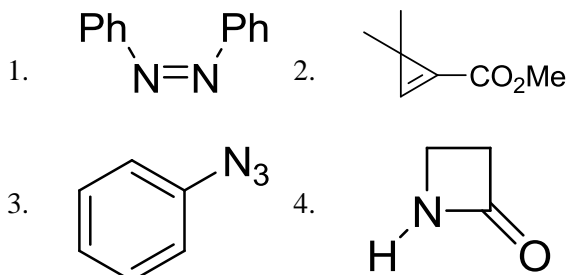
39. The major product formed in the following reaction is



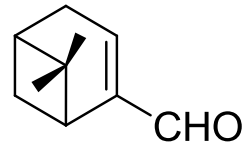
40. निम्नलिखित में से, यौगिक जो एक IR बैंड  $2150 \text{ cm}^{-1}$  पर दर्शाता है, वह है



40. Among the following, the compound that displays an IR band at  $2150 \text{ cm}^{-1}$  is



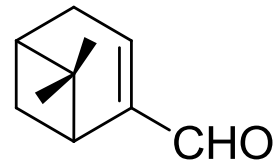
41. Myrtenal के  $^1\text{H NMR}$  स्पेक्ट्रम में दो मेथिल गुणों के सिग्नलों का प्रदर्शन जहां अपेक्षित है, वह है/हैं (रासायनिक सूत्र मान  $(\delta)$  ppm में है)



myrtenal

1. 1.35 (s, 3H) तथा 5.0 (s, 3H) पर
2. 0.74 (s, 3H) तथा 1.33 (s, 3H) पर
3. 1.22 (s, 6H) पर
4. 0.70 (s, 6H) पर

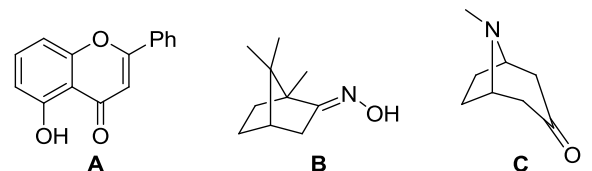
41. In the  $^1\text{H NMR}$  spectrum of myrtenal, the two methyl groups are expected to display signals at (chemical shift values  $(\delta)$  in ppm)



myrtenal

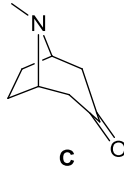
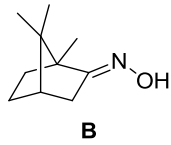
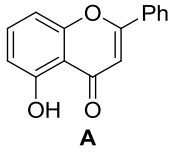
1. 1.35 (s, 3H) and 5.0 (s, 3H)
2. 0.74 (s, 3H) and 1.33 (s, 3H)
3. 1.22 (s, 6H)
4. 0.70 (s, 6H)

42. निम्नलिखित में से यौगिक/यौगिकों जिनका वर्गीकरण टर्पीन व्युत्पन्नों में किया जा सकता है, वह है/हैं



1. A तथा B
2. A केवल
3. B केवल
4. B तथा C

42. Among the following, the compound(s) that can be classified as terpene derivative is(are)



1. **A and B**
2. **A only**
3. **B only**
4. **B and C**

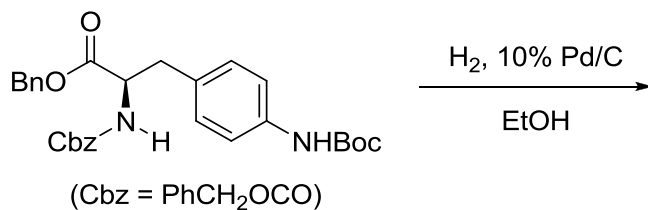
43. आइसोब्यूटिलीन की HCl से अभिक्रिया में, कार्बोडनायन मध्यवर्ती के विरचन के लिए जो फ्रंटियर आर्बिटल अन्योन्य क्रियाएं सम्मिलित होती हैं, वह हैं

1. ओलिफिन का  $\pi$  तथा HCl का  $\sigma^*$
2. ओलिफिन का  $\pi$  तथा HCl का  $\sigma$
3. ओलिफिन का  $\pi^*$  तथा HCl का  $\sigma^*$
4. ओलिफिन का  $\pi^*$  तथा HCl का  $\sigma$

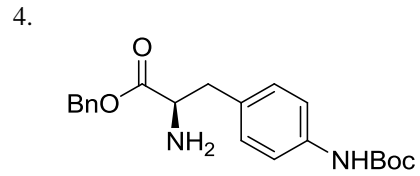
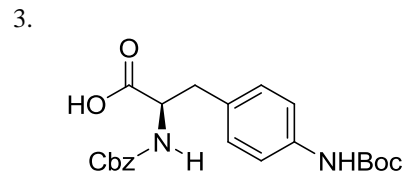
43. The frontier orbital interactions involved in the formation of the carbocation intermediate in the reaction of isobutylene with HCl are

1.  $\pi$  of olefin and  $\sigma^*$  of HCl
2.  $\pi$  of olefin and  $\sigma$  of HCl
3.  $\pi^*$  of olefin and  $\sigma^*$  of HCl
4.  $\pi^*$  of olefin and  $\sigma$  of HCl

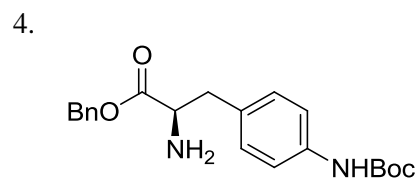
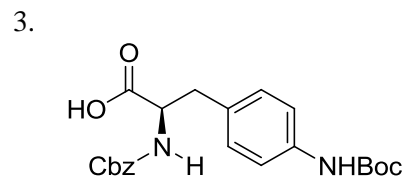
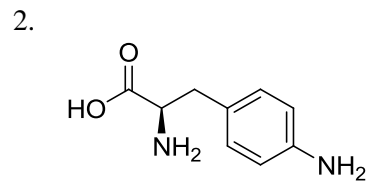
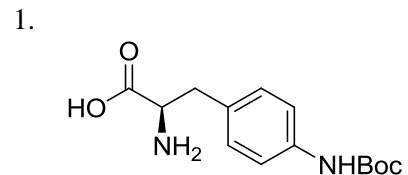
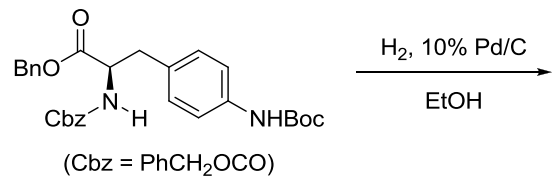
44. निम्नलिखित अभिक्रिया में उत्पन्न मुख्य उत्पाद हैं



- 1.
- 2.



44. The major product formed in the following reaction is



45.  $\alpha, \beta$ -असंतृप्त कार्बोनिल यौगिक के UV-visible अवशोषण स्पेक्ट्रम में विलायक की ध्रुवणा बढ़ाने पर

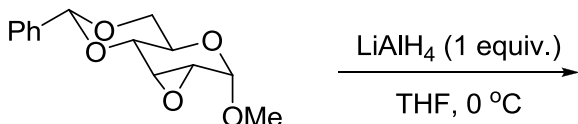
1.  $n-\pi^*$  संक्रमणों में hypsochromic शिफ्ट होती है,  $\pi-\pi^*$  में bathochromic शिफ्ट होती है।
2.  $n-\pi^*$  संक्रमणों में bathochromic शिफ्ट होती है,  $\pi-\pi^*$  में hypsochromic शिफ्ट होती है।

3.  $n-\pi^*$  तथा  $\pi-\pi^*$  दोनों संक्रमणों में bathochromic शिफ्ट होती है।
4.  $n-\pi^*$  तथा  $\pi-\pi^*$  दोनों संक्रमणों में hypsochromic शिफ्ट होती है।

45. In the UV-visible absorption spectrum of an  $\alpha,\beta$ -unsaturated carbonyl compound, with increasing solvent polarity,

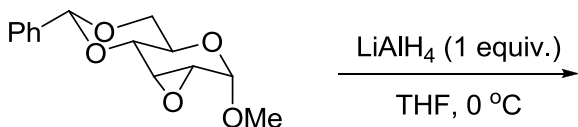
1.  $n-\pi^*$  transitions undergo hypsochromic shift,  $\pi-\pi^*$  undergo bathochromic shift
2.  $n-\pi^*$  transitions undergo bathochromic shift,  $\pi-\pi^*$  undergo hypsochromic shift
3. both  $n-\pi^*$  and  $\pi-\pi^*$  transitions undergo bathochromic shift
4. both  $n-\pi^*$  and  $\pi-\pi^*$  transitions undergo hypsochromic shift

46. निम्नलिखित अभिक्रिया में मुख्य उत्पाद है



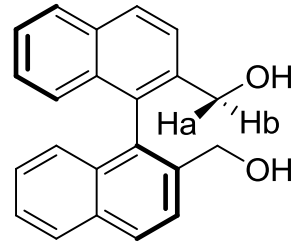
- 1.
- 2.
- 3.
- 4.

46. The major product formed in the following reaction is



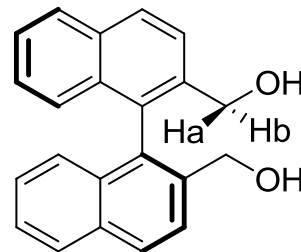
- 1.
- 2.
- 3.
- 4.

47. निम्नलिखित यौगिक में  $H_a$  तथा  $H_b$  का जो स्टीरियोरायानिक विवरण देता है, वह है



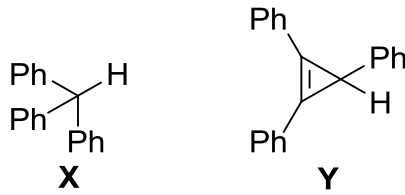
1. एनैन्टिओटॉपिक
2. डाइस्टीरियोटॉपिक
3. समस्थेय
4. संघटनात्मक विषम स्थानिक

47. In the following compound, the stereochemical descriptor for  $H_a$  and  $H_b$  is



1. enantiotopic
2. diastereotopic
3. homotopic
4. constitutionally heterotopic

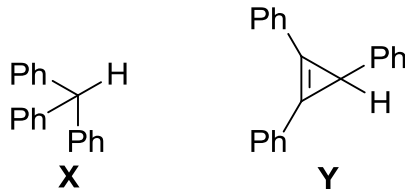
48. X तथा Y की  $\text{NaNH}_2$  से अभिक्रिया के लिए सही कथन हैं



- A. X तीव्र गति से अभिक्रिया करता है Y की तुलना में  
 B. Y तीव्र गति से अभिक्रिया करता है X की तुलना में  
 C. X तथा Y का व्यवहार लूइस अम्ल की तरह है  
 D. X एक शक्तिशाली ब्रॉन्स्टेड अम्ल है Y की तुलना में

1. A तथा C                      2. A तथा D  
 3. B तथा C                      4. B तथा D

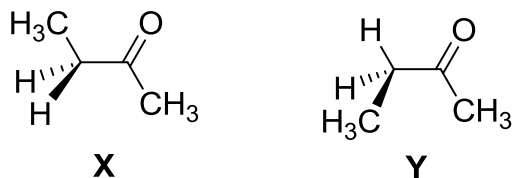
48. The correct statements are about the reaction of X and Y with  $\text{NaNH}_2$  are



- A. X reacts faster than Y  
 B. Y reacts faster than X  
 C. X and Y behave as Lewis acids  
 D. X is stronger Bronsted acid than Y

1. A and C                      2. A and D  
 3. B and C                      4. B and D

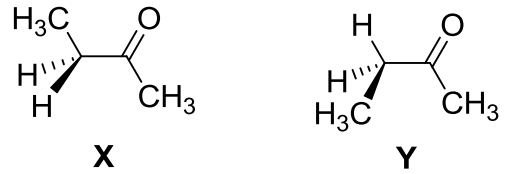
49. 2-ब्यूटेनोन के X तथा Y संरूपणों के लिए सही कथन हैं।



- A. Y की अपेक्षा X अधिक स्थायी है  
 B. X की अपेक्षा Y अधिक स्थायी है  
 C. X में मेथिल ग्रुप *anti* हैं  
 D. Y में मेथिल ग्रुप *gauche* हैं

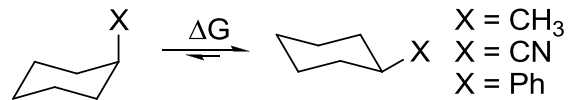
1. A तथा D                      2. A तथा C  
 3. B तथा C                      4. A, C तथा D

49. The correct statements about conformations X and Y of 2-butanone are



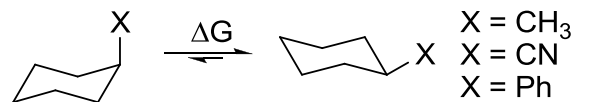
- A. X is more stable than Y  
 B. Y is more stable than X  
 C. Methyl groups in X are *anti*  
 D. Methyl groups in Y are *gauche*  
 1. A and D                      2. A and C  
 3. B and C                      4. A, C and D

50. साइक्लोहेक्सेन व्युत्पन्नों के लिए दिये गये प्रतिस्थापीयों के 'A मानों' के परिमाणों का सही क्रम है



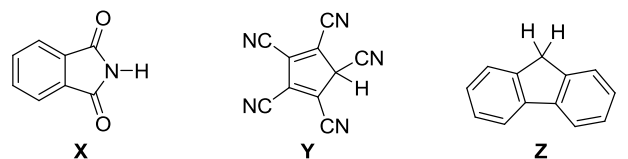
1. Ph > CN > Me  
 2. Me > Ph > CN  
 3. CN > Me > Ph  
 4. Ph > Me > CN

50. The correct order of the magnitude of 'A values' for the given substituents in cyclohexane derivatives is



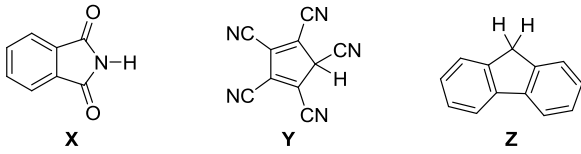
1. Ph > CN > Me  
 2. Me > Ph > CN  
 3. CN > Me > Ph  
 4. Ph > Me > CN

51. यौगिकों X, Y तथा Z के pKa मानों का सही क्रम है।



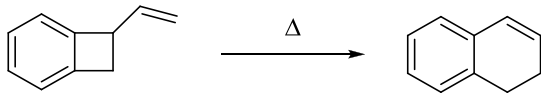
1. X > Y > Z                      2. Y > Z > X  
 3. Z > X > Y                      4. Y > X > Z

51. The correct order of pKa values for the compounds **X**, **Y** and **Z** is



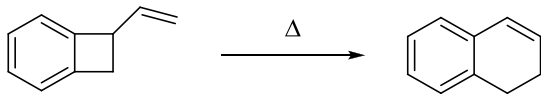
1. **X** > **Y** > **Z**                      2. **Y** > **Z** > **X**  
3. **Z** > **X** > **Y**                      4. **Y** > **X** > **Z**

52. निम्नलिखित रूपांतरण दो क्रमिक इलेक्ट्रोसाइक्लिक प्रक्रमों द्वारा संपन्न होता है। वह प्रक्रम है



1.  $4\pi$  conrotatory तथा  $6\pi$  conrotatory  
2.  $4\pi$  disrotatory तथा  $6\pi$  conrotatory  
3.  $4\pi$  conrotatory तथा  $6\pi$  disrotatory  
4.  $4\pi$  disrotatory तथा  $6\pi$  disrotatory

52. The following transformation proceeds through two consecutive electrocyclic processes, which are



1.  $4\pi$  conrotatory and  $6\pi$  conrotatory  
2.  $4\pi$  disrotatory and  $6\pi$  conrotatory  
3.  $4\pi$  conrotatory and  $6\pi$  disrotatory  
4.  $4\pi$  disrotatory and  $6\pi$  disrotatory

53. कोणीय संवेग ऑपरेटर्स  $L^2$  तथा  $L_z$  के समक्षणिक अभिलक्षणिक फलन

1. सभी  $2s, 2p_x, 2p_y$  तथा  $2p_z$  आर्बिटलों के लिए होते हैं।  
2. केवल  $2s, 2p_x$  तथा  $2p_y$  आर्बिटलों के लिए होते हैं।  
3. केवल  $2s$  तथा  $2p_z$  आर्बिटलों के लिए होते हैं।  
4. केवल  $2p_z$  आर्बिटल के लिए होते हैं।

53. The simultaneous eigenfunctions of angular momentum operators  $L^2$  and  $L_z$  are

1. all of  $2s, 2p_x, 2p_y$  and  $2p_z$  orbitals  
2. only  $2s, 2p_x$  and  $2p_y$  orbitals  
3. only  $2s$  and  $2p_z$  orbitals  
4. only  $2p_z$  orbital

54. संहति  $M$  के कणों से संघटित एक आदर्श गैस एक पात्र में ताप  $T$  पर तापीय साम्य अवस्था में है। एक दूसरे पात्र में  $2M$  संहति की आदर्श गैस के कण  $2T$  ताप पर हैं। दोनों गैसों के लिए सही कथन है:

1. औसत गतिज ऊर्जा तथा औसत स्पीड दोनों गैसों के लिए समान है।  
2. दोनों औसतों का मान दूसरी गैस के लिए दो गुना होगा।  
3. केवल औसत गतिज ऊर्जा दूसरी गैस के लिए दो गुनी होगी।  
4. केवल औसत स्पीड दूसरी गैस के लिए दो गुनी होगी।

54. An ideal gas is composed of particles of mass  $M$  in thermal equilibrium at a temperature  $T$  in one container. Another container contains ideal gas particles of mass  $2M$  at a temperature  $2T$ . The correct statement about the two gases is:

1. average kinetic energy and average speed will be same in the two cases.  
2. both the averages will be doubled in the second case.  
3. only the average kinetic energy will be doubled in the second case.  
4. only the average speed will be doubled in the second case.

55.  $d^6$  विन्यास के लिए निम्नतम ऊर्जा पद है

1.  $^2D$                                       2.  $^5D$   
3.  $^1P$                                       4.  $^1D$

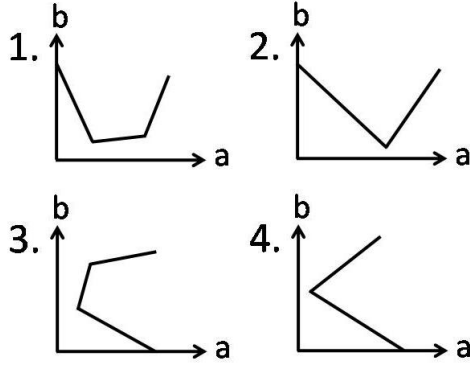
55. The lowest energy term for the  $d^6$  configuration is

1.  $^2D$                                       2.  $^5D$   
3.  $^1P$                                       4.  $^1D$

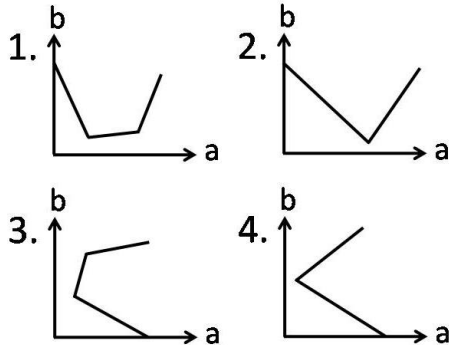
56. एक अभिक्रिया की दरें  $R_1$  तथा  $R_2$  क्रमशः एक अभिकर्मक की सांद्रता  $C_1$  तथा  $C_2$  पर हैं। इस अभिकर्मक के सापेक्ष अभिक्रिया की कोटि 'n' (मान लीजिए के दूसरे अभिकर्मकों की सांद्रता तथा  $T$  नियत रहते हैं) को देता है



61. NaOH के विलयन का HCl तथा  $\text{CH}_3\text{CO}_2\text{H}$  के विलयनों के मिश्रण से चालकता मूलक अनुमापन करने में, मिश्रित अम्लों के संकलित आयतन (b) को y-axis पर तथा चालकता (a) को x-axis पर लेकर खींचे गये आरेख का जो प्रत्याशित रूप होगा, वह है



61. On titrating conductometrically a NaOH solution with a mixture of HCl and  $\text{CH}_3\text{CO}_2\text{H}$  solutions, plot of the volume of mixed acid added (b) in y-axis against the conductance (a) in x-axis is expected to look like



62.  $\left(\frac{\partial H}{\partial P}\right)_T$  की विमा है

1. दाब की
2. आयतन की
3. ताप की
4. ऊष्मा धारिता की

62.  $\left(\frac{\partial H}{\partial P}\right)_T$  has the dimension of

1. pressure
2. volume
3. temperature
4. heat capacity

63. घनीय क्रिस्टल में [100] तल का जिन तलों के साथ समान झुकाव होता है, वह है

1. [010] तथा [011]
2. [010] तथा [110]
3. [001] तथा [101]
4. [110] तथा [011]

63. In a cubic crystal, the plane [100] is equally inclined to the planes

1. [010] and [011]
2. [010] and [110]
3. [001] and [101]
4. [110] and [011]

64. एक नियत ताप एवं माध्यम में मानक इलेक्ट्रोड विभव  $E^\circ$  की निर्भरता होती है

1. केवल इलेक्ट्रोड की संरचना पर
2. इलेक्ट्रोड की संरचना तथा इसकी अभिक्रिया के परिमाण पर
3. केवल इलेक्ट्रोड अभिक्रिया के परिमाण पर
4. इलेक्ट्रोड अभिक्रिया तथा इलेक्ट्रोड संरचना पर

64. The standard electrode potential  $E^\circ$  at a fixed temperature and in a given medium is dependent on

1. only the electrode composition
2. the electrode composition and the extent of the reaction
3. the extent of the electrode reaction only
4. the electrode reaction and the electrode composition

65. एक अनुमापन में ऐलिक्वाट के मापे गये आयतन तथा मापे गए अनुमाप आयतन में प्रतिशत अनिश्चिततायें क्रमशः  $\pm x$  तथा  $\pm y$  हैं। ऐलिक्वाट की परकलित सान्द्रता में प्रतिशत त्रुटि है।

1.  $x + y$
2.  $xy$
3.  $(xy)^{1/2}$
4.  $(x^2 + y^2)^{1/2}$

65. In a titration, the percentage uncertainties in the measured aliquot volume and the measured titre volume are  $\pm x$  and  $\pm y$  respectively. The percentage error in the calculated concentration of aliquot is

1.  $x + y$
2.  $xy$
3.  $(xy)^{1/2}$
4.  $(x^2 + y^2)^{1/2}$

66. एक आदर्श गैस के लिए 300K पर

1.  $\left(\frac{\partial U}{\partial V}\right)_T = 0$
2.  $\left(\frac{\partial U}{\partial T}\right)_V = 0$
3.  $\left(\frac{\partial H}{\partial T}\right)_P = 0$
4.  $\left(\frac{\partial G}{\partial T}\right)_P = 0$

66. For an ideal gas at 300K

1.  $\left(\frac{\partial U}{\partial V}\right)_T = 0$
2.  $\left(\frac{\partial U}{\partial T}\right)_V = 0$
3.  $\left(\frac{\partial H}{\partial T}\right)_P = 0$
4.  $\left(\frac{\partial G}{\partial T}\right)_P = 0$

67. हाइड्रोजन अणु की प्रथम उत्तेजित अवस्था है

1.  $^1\Sigma_g^+$
2.  $^1\Sigma_u^-$
3.  $^3\Sigma_g^-$
4.  $^3\Sigma_u^+$

67. The first excited state of hydrogen molecule is

1.  $^1\Sigma_g^+$
2.  $^1\Sigma_u^-$
3.  $^3\Sigma_g^-$
4.  $^3\Sigma_u^+$

68. जब कोलाइडी क्ले वाला नदी जल समुद्र में बहता है तो सिल्टिंग का मुख्य कारण होता है

1. बालू का तले पर एकत्रित होना
2. ऊर्णन तथा स्कंदन
3. समुद्र जल की लवणता घटना
4. मिसेलीकरण

68. When river water containing colloidal clay flows into the sea, the major cause of silting is

1. accumulation of sand at the bottom
2. flocculation and coagulation
3. decreased salinity of sea water
4. micellization

69. कॉलम A में धातु दिये हैं तथा कॉलम B में उनके यौगिकों के रूप में औषधीय उपयोग दिए हैं

कॉलम A		कॉलम B	
(a)	Gd	(i)	कैंसर
(b)	Au	(ii)	मेनइएक डिप्रेशन
(c)	Pt	(iii)	MRI कॉन्ट्रास्ट एजेंट
(d)	Li	(iv)	आर्थ्राइटिस

सही मिलान है

1. (a)-(ii); (b)-(iii); (c)-(iv); (d)-(i);
2. (a)-(iv); (b)-(ii); (c)-(i); (d)-(iii);
3. (a)-(iii); (b)-(iv); (c)-(i); (d)-(ii);
4. (a)-(i); (b)-(ii); (c)-(iii); (d)-(iv).

69. Match the metal given in Column A with its medicinal use as a compound in Column B.

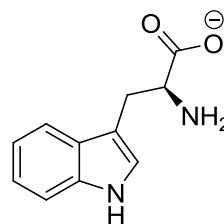
Column A		Column B	
(a)	Gd	(i)	Cancer
(b)	Au	(ii)	Maniac depression
(c)	Pt	(iii)	MRI contrast agent
(d)	Li	(iv)	Arthritis

Correct match is

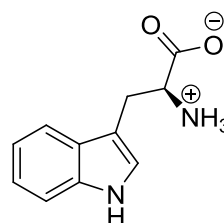
1. (a)-(ii); (b)-(iii); (c)-(iv); (d)-(i);
2. (a)-(iv); (b)-(ii); (c)-(i); (d)-(iii);
3. (a)-(iii); (b)-(iv); (c)-(i); (d)-(ii);
4. (a)-(i); (b)-(ii); (c)-(iii); (d)-(iv).

70. pH 10 पर ट्रिप्टोफेन का जो अस्तित्व होता है, वह है

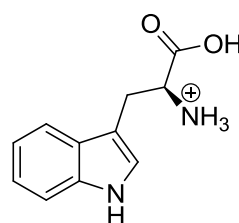
1.



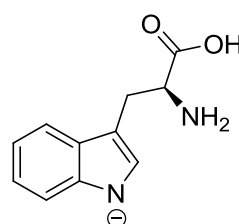
2.



3.



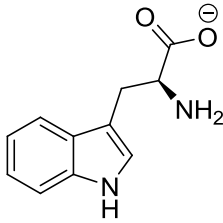
4.



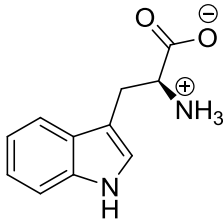


70. At pH 10, tryptophan exists as

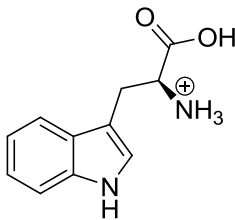
1.



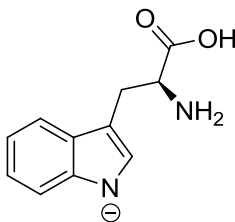
2.



3.

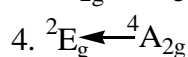
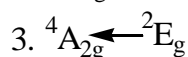
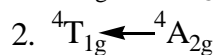
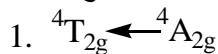


4.

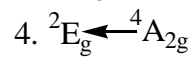
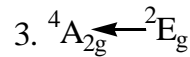
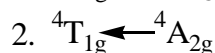
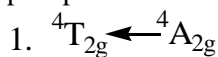


### भाग \PART 'C'

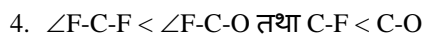
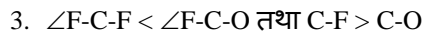
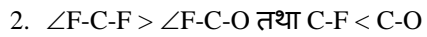
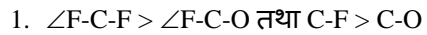
71. संक्रमण जिसके कारण संकुल  $[\text{Cr}(\text{bipyridyl})_3]^{3+}$ , लाल स्फुर दीप्ति देता है, वह है



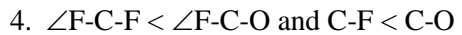
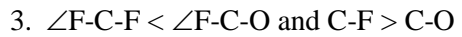
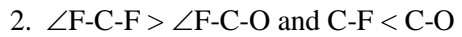
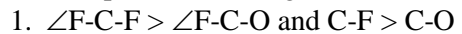
71. Complex  $[\text{Cr}(\text{bipyridyl})_3]^{3+}$ , shows red phosphorescence due to transition



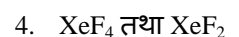
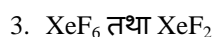
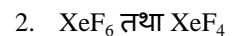
72. कार्बोनिल फ्लूओराइड के लिए आबन्ध कोण तथा आबन्ध लम्बाई के संदर्भ में सही विकल्प चुनिए।



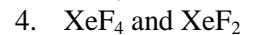
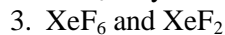
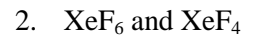
72. Choose the correct option for carbonyl fluoride with respect to bond angle and bond length



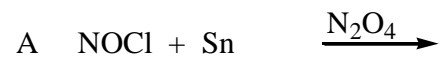
73. द्रव  $\text{BrF}_3$  में निम्नलिखित में से कौन सा/से  $\text{AsF}_5$  से अभिक्रिया करता है/करते हैं?



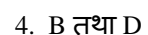
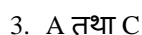
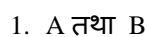
73. Which of the following react(s) with  $\text{AsF}_5$  in liquid  $\text{BrF}_3$ ?



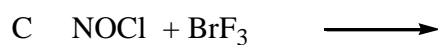
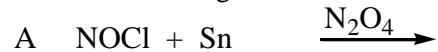
74. निम्नलिखित अभिक्रियाओं पर विचार कीजिए?



अभिक्रियायें जिनका मुख्य उत्पाद  $[\text{NO}]^+$  है, वह हैं



74. Consider the following reactions:



Reactions which will give  $[\text{NO}]^+$  as a major product are:

1. A and B  
3. A and C
2. C and D  
4. B and D
75. संकुल जो चुम्बकीय आघूर्ण में आर्बिटल योगदान दर्शाता है, वह है  
1.  $[\text{Cu}(\text{H}_2\text{O})_6]^{2+}$   
3.  $[\text{Co}(\text{H}_2\text{O})_6]^{2+}$
2.  $[\text{Ni}(\text{H}_2\text{O})_6]^{2+}$   
4.  $[\text{Cr}(\text{H}_2\text{O})_6]^{2+}$
75. The complex that shows orbital contribution to the magnetic moment, is  
1.  $[\text{Cu}(\text{H}_2\text{O})_6]^{2+}$   
3.  $[\text{Co}(\text{H}_2\text{O})_6]^{2+}$
2.  $[\text{Ni}(\text{H}_2\text{O})_6]^{2+}$   
4.  $[\text{Cr}(\text{H}_2\text{O})_6]^{2+}$
76. KF,  $\text{SnF}_4$  तथा  $\text{SbF}_5$ , विलेयों में से जो  $\text{BrF}_3$ , में  $\text{BrF}_4^-$  की सांद्रता बढ़ा देता है/देते हैं, वह है/हैं  
1. KF केवल  
2. KF तथा  $\text{SnF}_4$   
3.  $\text{SnF}_4$  तथा  $\text{SbF}_5$   
4. KF,  $\text{SnF}_4$  तथा  $\text{SbF}_5$
76. Among KF,  $\text{SnF}_4$  and  $\text{SbF}_5$ , solute(s) that increase(s) the concentration of  $\text{BrF}_4^-$  in  $\text{BrF}_3$ , is/are  
1. KF only  
2. KF and  $\text{SnF}_4$   
3.  $\text{SnF}_4$  and  $\text{SbF}_5$   
4. KF,  $\text{SnF}_4$  and  $\text{SbF}_5$
77.  $\text{KMnO}_4$  में  $10^{-6} \text{ cm}^3 \text{ mol}^{-1}$  कोटि की प्रेक्षित अनुचुम्बकीय सुग्राहिता जिस कारण से है, वह है  
1. बेतरतीब स्पिन सरेखण  
2. प्रतिलोह चुम्बकीय विनिमय अन्योन्याक्रिया  
3. अनुचुम्बकीय अशुद्धि  
4. ताप स्वतंत्र अनुचुम्बकत्व
77. Paramagnetic susceptibility of the order of  $10^{-6} \text{ cm}^3 \text{ mol}^{-1}$  observed for  $\text{KMnO}_4$  is due to  
1. random spin alignment  
2. antiferromagnetic exchange interaction  
3. paramagnetic impurity  
4. temperature independent paramagnetism
78. मेटलोसीनो (a-c) में M-C आबन्ध लम्बाई का सही क्रम है।  
a.  $[\text{Fe}(\eta^5\text{-Cp})_2]$       b.  $[\text{Ni}(\eta^5\text{-Cp})_2]$   
c.  $[\text{Co}(\eta^5\text{-Cp})_2]$
1.  $a > b > c$   
3.  $c > b > a$
2.  $b > c > a$   
4.  $a > c > b$
78. Correct order of M-C bond length of metallocenes (a-c)  
a.  $[\text{Fe}(\eta^5\text{-Cp})_2]$       b.  $[\text{Ni}(\eta^5\text{-Cp})_2]$   
c.  $[\text{Co}(\eta^5\text{-Cp})_2]$  is  
1.  $a > b > c$   
3.  $c > b > a$
2.  $b > c > a$   
4.  $a > c > b$
79. एक 100 mL विलयन जो Bi(III) तथा Cu(II) में से प्रत्येक के लिए  $2.5 \times 10^{-3} \text{ M}$  है, का 745 nm पर 0.1 M EDTA से प्रकाशमापीय अनुमापन किया गया। इस अनुमापन के लिए सही कथनों को पहिचानिए  
A. EDTA विलयन का उपयोग हुआ कुल आयतन 5 mL है।  
B. 3 mL EDTA की Bi(III) से संकुल बनाने के लिए तथा 2 mL की Cu(II) के लिए आवश्यकता होती है।  
C. प्रत्येक धातु आयन के लिए 2.5 mL EDTA का उपयोग होता है।  
D. अनुमापन वक्र में प्रथम ब्रेक Cu(II) के लिए होता है।  
सही कथन है  
1. A तथा B  
3. A, B तथा C
2. A तथा C  
4. B, C तथा D
79. A 100 mL solution of  $2.5 \times 10^{-3} \text{ M}$  in Bi(III) and Cu(II) each, is photometrically titrated at 745 nm with 0.1 M EDTA solution. Identify correct statements for this titration.  
A. Total volume of EDTA solution used is 5 mL  
B. 3 mL of EDTA is required to complex Bi(III) and 2 mL for Cu(II)  
C. 2.5 mL of EDTA is used for each metal ion  
D. First break in titration curve is for Cu(II)  
Correct statements are  
1. A and B  
3. A, B and C
2. A and C  
4. B, C and D
80.  $^{10}\text{B}$  के एक नमूने को लगातार  $10^{16} \text{ m}^2 \text{ s}^{-1}$  मंदगति के न्यूट्रॉन फ्लक्स में खुला छोड़ने पर, इसका 3% संहति अंश  $3 \times 10^7 \text{ s}$  में अदृश्य हो जाता है।  $^{10}\text{B}$  के लिए न्यूट्रॉन अभिग्रहण अनुप्रस्थ परिच्छेद (barns में) है।  
1. 1000  
3. 10,000
2. 3000  
4. 30,000

80. On continuous exposure of  $^{10}\text{B}$  sample to a slow neutron flux of  $10^{16} \text{ m}^2 \text{ s}^{-1}$ , its 3 % weight fraction disappears in  $3 \times 10^7 \text{ s}$ . Cross section for neutron capture (in barns) by  $^{10}\text{B}$  is  
 1. 1000  
 2. 3000  
 3. 10,000  
 4. 30,000
81.  $[\text{Ru}(\eta^4\text{-C}_8\text{H}_8)(\text{CO})_3]$  के लिए  $23^\circ\text{C}$  पर,  $^1\text{H}$  NMR स्पेक्ट्रम एक तीक्ष्ण सिंगल लाइन का होता है। निम्न ताप ( $-140^\circ\text{C}$ ) पर इसके स्पेक्ट्रम में प्रेक्षित सिग्नलों की संख्या है  
 1. 8  
 2. 6  
 3. 4  
 4. 2
81. The  $^1\text{H}$  NMR spectrum of  $[\text{Ru}(\eta^4\text{-C}_8\text{H}_8)(\text{CO})_3]$  at  $23^\circ\text{C}$  consists of a sharp single line. The number of signals observed at low temperature ( $-140^\circ\text{C}$ ) in its spectrum is  
 1. 8  
 2. 6  
 3. 4  
 4. 2
82.  $\text{Ce}^{3+}$  ( $4f^1$ ) तथा  $\text{Pr}^{3+}$  ( $4f^2$ ) के लिए  $g$  के मान हैं क्रमशः  
 1.  $3/7$  तथा  $2/5$   
 2.  $5/7$  तथा  $4/5$   
 3.  $6/7$  तथा  $3/5$   
 4.  $6/7$  तथा  $4/5$
82. The  $g$  values for  $\text{Ce}^{3+}$  ( $4f^1$ ) and  $\text{Pr}^{3+}$  ( $4f^2$ ) are, respectively  
 1.  $3/7$  and  $2/5$   
 2.  $5/7$  and  $4/5$   
 3.  $6/7$  and  $3/5$   
 4.  $6/7$  and  $4/5$
83. एक एकलकी  $\text{Cu}(\text{II})$  संकुल का कमरे के ताप पर चुम्बकीय आघूर्ण ( $\mu_{\text{eff}}$  BM में) 1.73 से अधिक है। जिस व्यंजक से इसकी व्याख्या की जा सकती है, वह है  
 1.  $\mu_{\text{eff}} = \mu_s \left(1 - \frac{\alpha\lambda}{\Delta}\right)$   
 2.  $\mu_{\text{eff}} = \sqrt{n(n+2)}$   
 3.  $\mu_{\text{eff}} = \sqrt{4s(s+1) + L(L+1)}$   
 4.  $\mu_{\text{eff}} = g\sqrt{J(J+1)}$
83. The room temperature magnetic moment ( $\mu_{\text{eff}}$  in BM) for a monomeric  $\text{Cu}(\text{II})$  complex is greater than 1.73. This may be explained using the expression:  
 1.  $\mu_{\text{eff}} = \mu_s \left(1 - \frac{\alpha\lambda}{\Delta}\right)$   
 2.  $\mu_{\text{eff}} = \sqrt{n(n+2)}$   
 3.  $\mu_{\text{eff}} = \sqrt{4s(s+1) + L(L+1)}$   
 4.  $\mu_{\text{eff}} = g\sqrt{J(J+1)}$
84.  $\text{Al}(\text{BH}_4)_3$  में उपस्थित  $3c-2e$  आबन्धों की संख्या है  
 1. चार  
 2. तीन  
 3. छः  
 4. शून्य
84. The number of  $3c-2e$  bonds present in  $\text{Al}(\text{BH}_4)_3$  is  
 1. four  
 2. three  
 3. six  
 4. zero
85. यौगिकों  $\text{C}_2\text{B}_3\text{H}_5$ ,  $\text{C}_2\text{B}_4\text{H}_6$ , तथा  $\text{B}_5\text{H}_9$  में उपस्थित कंकाली इलेक्ट्रॉनों की संख्याएँ हैं क्रमशः  
 1. 10, 12 तथा 12  
 2. 12, 14 तथा 14  
 3. 10, 12 तथा 14  
 4. 12, 14 तथा 12
85. The numbers of skeletal electrons present in the compounds  $\text{C}_2\text{B}_3\text{H}_5$ ,  $\text{C}_2\text{B}_4\text{H}_6$ , and  $\text{B}_5\text{H}_9$  are, respectively,  
 1. 10, 12 and 12  
 2. 12, 14 and 14  
 3. 10, 12 and 14  
 4. 12, 14 and 12
86.  $\text{VO}(\text{acac})_2$  [वैनेडियम पर ज्यामिती वर्ग पिरैमिडीय] के  $77 \text{ K}$  पर लिए गए EPR स्पेक्ट्रम के लिए  $[I(^{51}\text{V}) = 7/2]$  सही कथनों को पहिचानिए।  
 A. इसमें  $g$  के 2 मान होते हैं।  
 B. इसमें केवल 8 लाइनें होती हैं।  
 C. इसके  $g$  का केवल एक मान होता है।  
 D. इसमें दो पैटर्न होते हैं, जिसमें से प्रत्येक में 8 लाइनें होती हैं।  
 सही कथन हैं।  
 1. A तथा D  
 2. A तथा C  
 3. B तथा C  
 4. B तथा D
86. Identify correct statements for the EPR spectrum of  $\text{VO}(\text{acac})_2$  [with square pyramidal geometry at vanadium] at  $77 \text{ K}$  [ $I(^{51}\text{V}) = 7/2$ ].  
 A. It has two  $g$  values.  
 B. It has 8 lines only.  
 C. It has one  $g$  value.  
 D. It has two patterns of 8 lines each.  
 Correct statements are  
 1. A and D  
 2. A and C  
 3. B and C  
 4. B and D
87. अणु  $\text{Ph}_3\text{P}\cdot^{11}\text{BH}_3$  के लिए  $^1\text{H}$  तथा  $^{11}\text{B}$  NMR स्पेक्ट्रम में  $\text{BH}_3$  भाग द्वारा दर्शायी गयी लाइनों की संख्या है क्रमशः  $[I(^{11}\text{B}) = 3/2; I(^{31}\text{P}) = 1/2]$   
 1. 8 तथा 8.  
 2. 4 तथा 8.  
 3. 3 तथा 6.  
 4. 6 तथा 3.

87. The numbers of lines shown by the  $\text{BH}_3$  part of the molecule  $\text{Ph}_3\text{P}\cdot^{11}\text{BH}_3$  in the  $^1\text{H}$  and  $^{11}\text{B}$  NMR spectra are, respectively [I ( $^{11}\text{B}$ ) = 3/2; I ( $^{31}\text{P}$ ) = 1/2]
1. 8 and 8.
  2. 4 and 8.
  3. 3 and 6.
  4. 6 and 3.

88. Fe की उपस्थिति वाले नमूनों का मॉसबौर स्पेक्ट्रम रिकार्ड करने के लिए एक स्रोत 'X' का उपयोग किया जाता है। X, न्यूक्लीयर रूपान्तरण (Y) के पश्चात्  $\gamma$ -विकिरण देता है जिसका मॉसबौर स्पेक्ट्रोमिती में उपयोग करते हैं। X तथा Y हैं क्रमशः

1.  $^{57}\text{Fe}$ ,  $\beta$ -उत्सर्जन
2.  $^{57}\text{Co}$ ,  $\beta$ - उत्सर्जन
3.  $^{57}\text{Co}$ ,  $e^-$  प्रग्रहण
4.  $^{57}\text{Fe}$ ,  $e^-$  प्रग्रहण

88. To record Mössbauer spectrum of Fe containing samples, a source 'X' is used. X after a nuclear transformation (Y), gives  $\gamma$ -radiation used in Mössbauer spectroscopy. X and Y respectively, are

1.  $^{57}\text{Fe}$ ,  $\beta$ -emission
2.  $^{57}\text{Co}$ ,  $\beta$ -emission
3.  $^{57}\text{Co}$ ,  $e^-$  capture
4.  $^{57}\text{Fe}$ ,  $e^-$  capture.

89. धातु आयन-पॉर्फिन संकुल में (धातु आयन वहन करने वाले कीलेट वलयों सहित) उपस्थित वलयों की संख्या और आकार का सही संयोग है

1. चार 5-सदस्यीय तथा चार 6-सदस्यीय
2. दो 5-सदस्यीय तथा छः 6-सदस्यीय
3. छः 5-सदस्यीय तथा दो 6-सदस्यीय
4. पाँच 5-सदस्यीय तथा तीन 6-सदस्यीय

89. Correct combination of number and size of rings present in a metal ion-porphine complex (including metal ion bearing chelate rings) is

1. four 5-membered and four 6-membered
2. two 5-membered and six 6-membered
3. six 5-membered and two 6-membered
4. five 5-membered and three 6-membered

90. मानव शरीर में *cis*-प्लैटिन जल अपघटित होकर डाइएक्वा संकुल देती है और DNA संरचना में परिवर्तन जिससे बन्धन करके करती है, वह है

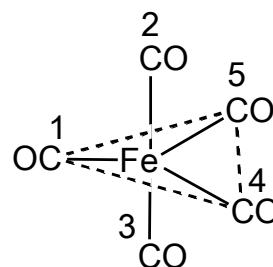
1. ग्वानीन बेस का N-परमाणु
2. साइटोसीन बेस का O- परमाणु

3. ऐडनीन बेस का N- परमाणु
4. थायमीन बेस का O- परमाणु

90. In human body *cis*-platin hydrolyzes to a diaqua complex and modifies the DNA structure by binding to

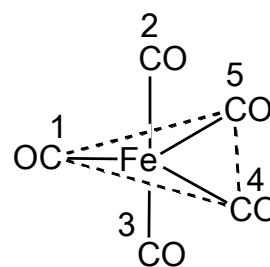
1. N-atom of guanine base
2. O-atom of cytosine base
3. N-atom of adenine base
4. O-atom of thymine base

91. प्रवाही संरचना के  $\text{Fe}(\text{CO})_5$  (संरचना निम्नलिखित है) के विलयन में अंकित CO ग्रुपों का विनमय जिनके मध्य होगा वह है।



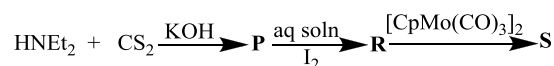
1. 2 तथा 5; 3 तथा 4
2. 2 तथा 3; 4 तथा 5
3. 2 तथा 3; 1 तथा 5
4. 1 तथा 2; 4 तथा 5

91. For fluxional  $\text{Fe}(\text{CO})_5$  (structure given below) in solution, the exchange of numbered CO groups will be between



1. 2 and 5; 3 and 4
2. 2 and 3; 4 and 5
3. 2 and 3; 1 and 5
4. 1 and 2; 4 and 5

92. निम्नलिखित अभिक्रिया क्रम में

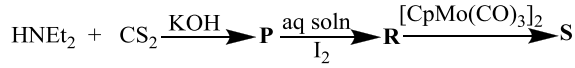


जहाँ dtc = डाइथोयोकार्बाईमेट तथा  
tds = थाइयूरैम डाइसल्फाइड

**P, R तथा S** को पहिचानिए।  $\text{Cp} = \eta^5\text{-C}_5\text{H}_5$

	<b>P</b>	<b>R</b>	<b>S</b>
1.	$\text{Et}_2\text{dtc}^-\text{K}^+$	$\text{Et}_4\text{tds}$	$\text{CpMo}(\text{Et}_2\text{dtc})(\text{CO})_2$
2.	$\text{Etdtc}^-\text{K}^+$	$\text{Et}_3\text{tds}$	$\text{CpMo}(\text{Et}_3\text{dtc})(\text{CO})_2$
3.	$\text{Et}_4\text{dtc}^-\text{K}^+$	$\text{Et}_2\text{tds}$	$\text{CpMo}(\text{Et}_4\text{dtc})(\text{CO})$
4.	$\text{Etdtc}^-\text{K}^+$	$\text{Ettts}$	$\text{CpMo}(\text{Etdtc})(\text{CO})$

92. In the following reaction sequence

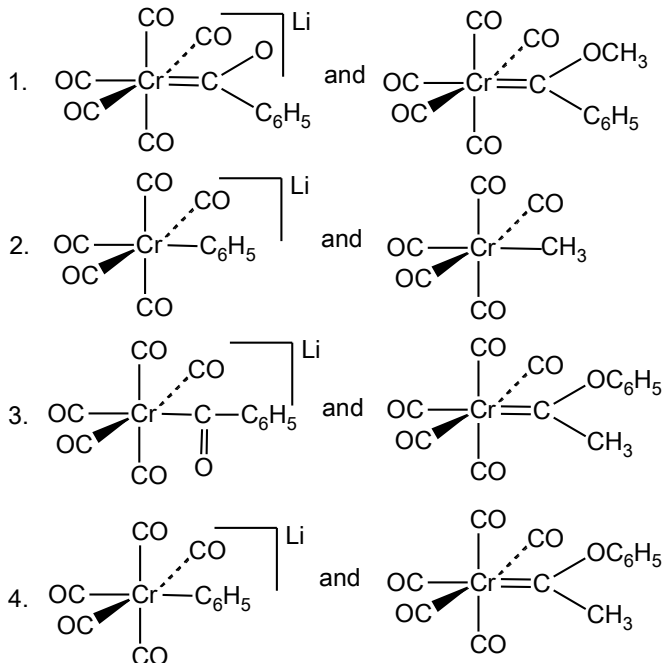


where dtc = dithiocarbamate and tds = thiuramdisulfide.

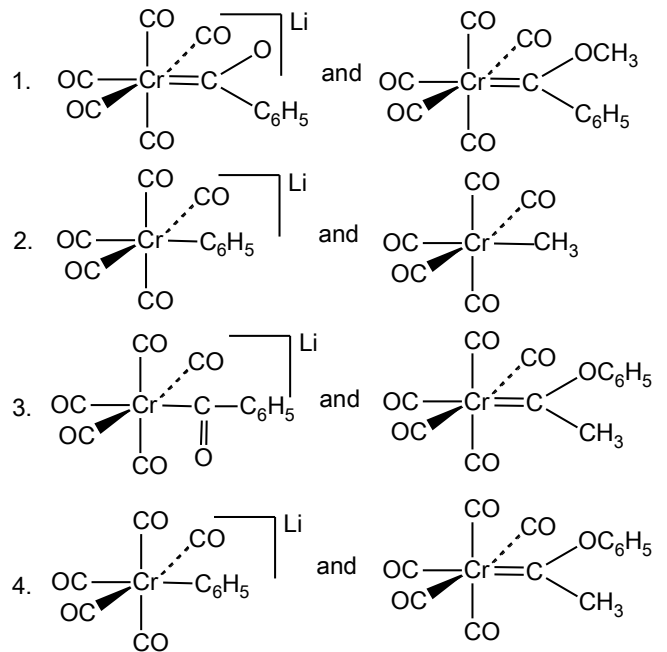
Identify **P, R** and **S**.  $\text{Cp} = \eta^5\text{-C}_5\text{H}_5$

	<b>P</b>	<b>R</b>	<b>S</b>
1.	$\text{Et}_2\text{dtc}^-\text{K}^+$	$\text{Et}_4\text{tds}$	$\text{CpMo}(\text{Et}_2\text{dtc})(\text{CO})_2$
2.	$\text{Etdtc}^-\text{K}^+$	$\text{Et}_3\text{tds}$	$\text{CpMo}(\text{Et}_3\text{dtc})(\text{CO})_2$
3.	$\text{Et}_4\text{dtc}^-\text{K}^+$	$\text{Et}_2\text{tds}$	$\text{CpMo}(\text{Et}_4\text{dtc})(\text{CO})$
4.	$\text{Etdtc}^-\text{K}^+$	$\text{Ettts}$	$\text{CpMo}(\text{Etdtc})(\text{CO})$

93.  $\text{Cr}(\text{CO})_6$  की  $\text{LiC}_6\text{H}_5$  से अभिक्रिया **A** देती है  $[\text{Me}_3\text{O}][\text{BF}_4]$  से **A** अभिक्रिया करके **B** देता है। **A** तथा **B** की संरचनायें हैं क्रमशः



93. Reaction of  $\text{Cr}(\text{CO})_6$  with  $\text{LiC}_6\text{H}_5$  gives **A** which reacts with  $[\text{Me}_3\text{O}][\text{BF}_4]$  to give **B**. The structures of **A** and **B** respectively, are



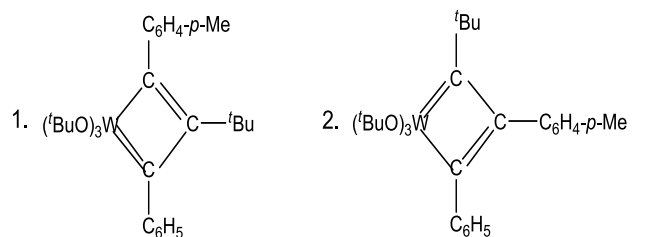
94.  $[(\eta^5\text{-C}_5\text{H}_5)\text{Mo}(\text{CO})_3]_2$  के एक नमूने को गर्म करने पर  $[(\eta^5\text{-C}_5\text{H}_5)\text{Mo}(\text{CO})_2]_2$  का विरचन  $\text{CO}$  के 2 तुल्यों के विलोपन के पश्चात् होता है। इस अभिक्रिया में  $\text{Mo-Mo}$  आबन्ध कोटि में जो परिवर्तन होता है, वह है

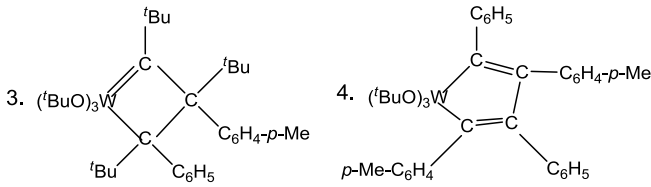
- 2 से 3
- 1 से 2
- 1 से 3
- 2 से 4

94. Heating a sample of  $[(\eta^5\text{-C}_5\text{H}_5)\text{Mo}(\text{CO})_3]_2$  results in the formation of  $[(\eta^5\text{-C}_5\text{H}_5)\text{Mo}(\text{CO})_2]_2$  with elimination of 2 equivalents of  $\text{CO}$ . The  $\text{Mo-Mo}$  bond order in this reaction changes from

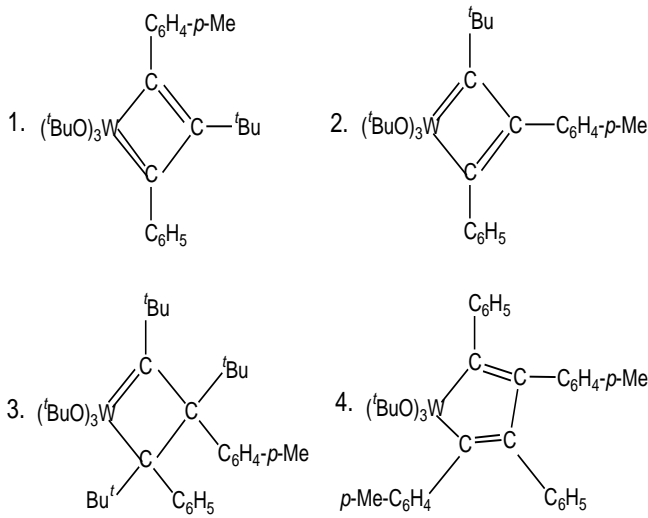
- 2 to 3
- 1 to 2
- 1 to 3
- 2 to 4

95.  $\text{C}_6\text{H}_5\text{-C}\equiv\text{C-C}_6\text{H}_4\text{-}p\text{-Me}$  की  $[(^t\text{BuO})_3\text{W}\equiv\text{C-}^t\text{Bu}]$  से उत्प्रेरित स्वयं विनिमय अभिक्रिया में सम्मिलित युक्ति युक्त मध्यवर्ती है।

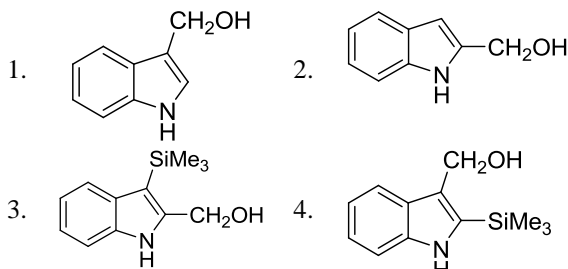
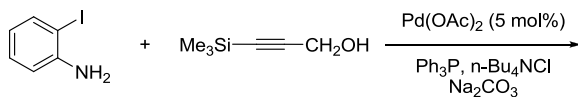




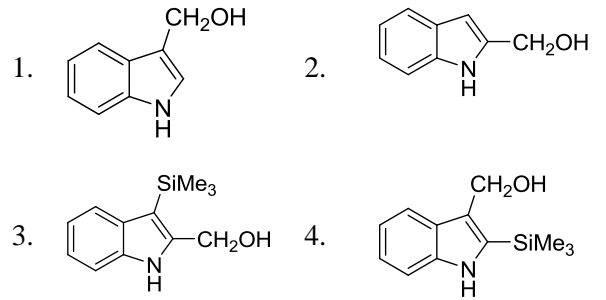
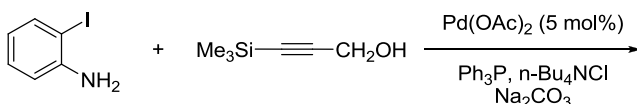
95. A plausible intermediate involved in the self metathesis reaction of  $C_6H_5-C\equiv C-C_6H_4-p-Me$  catalyzed by  $[(tBuO)_3W\equiv C-tBu]$  is



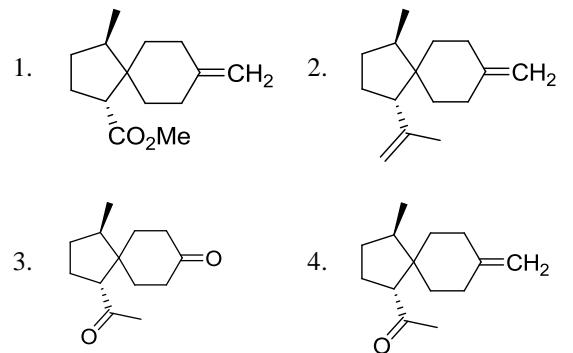
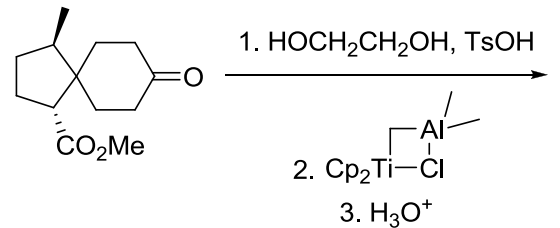
96. निम्नलिखित अभिक्रिया में विरचित मुख्य उत्पाद है



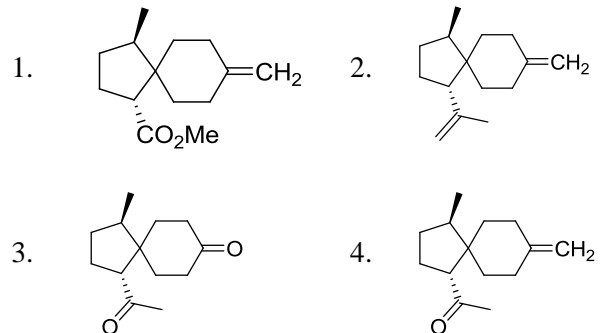
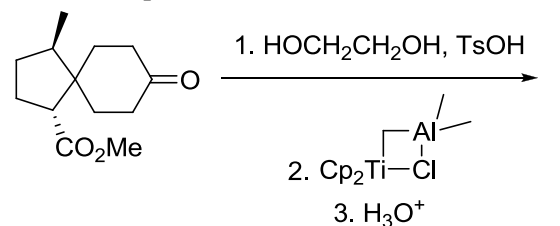
96. The major product formed in the following reaction is



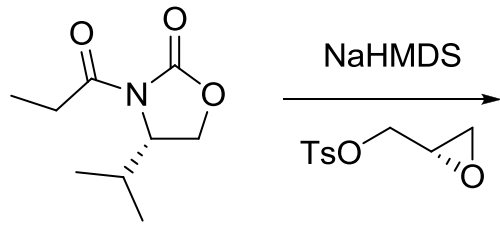
97. निम्नलिखित अभिक्रिया क्रम में विरचित मुख्य उत्पाद है



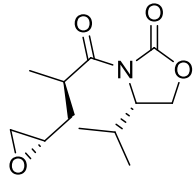
97. The major product formed in the following reaction sequence is



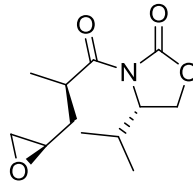
98. निम्नलिखित अभिक्रिया में विरचित मुख्य उत्पाद है



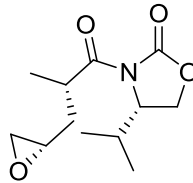
1.



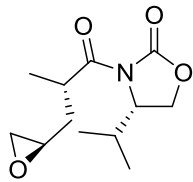
2.



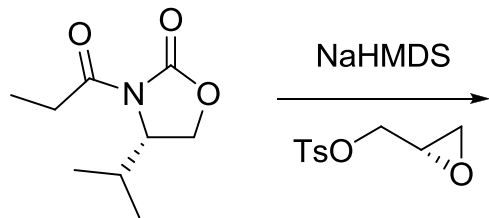
3.



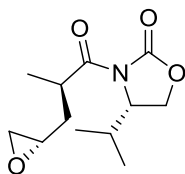
4.



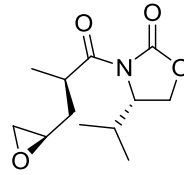
98. The major product formed in the following reaction is



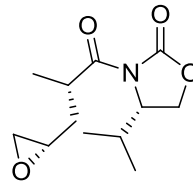
1.



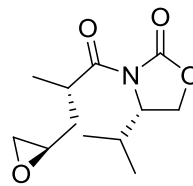
2.



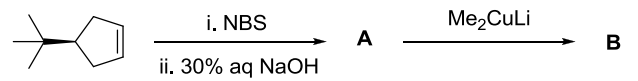
3.



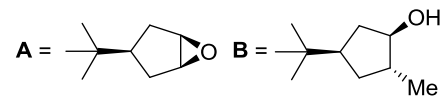
4.



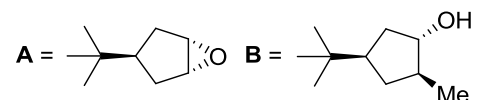
99. निम्नलिखित अभिक्रिया क्रम में उत्पाद A तथा B हैं



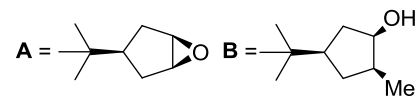
1.



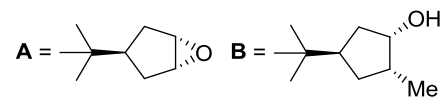
2.



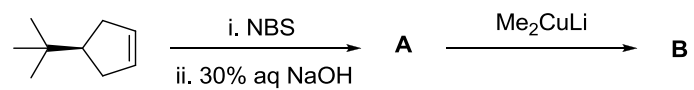
3.

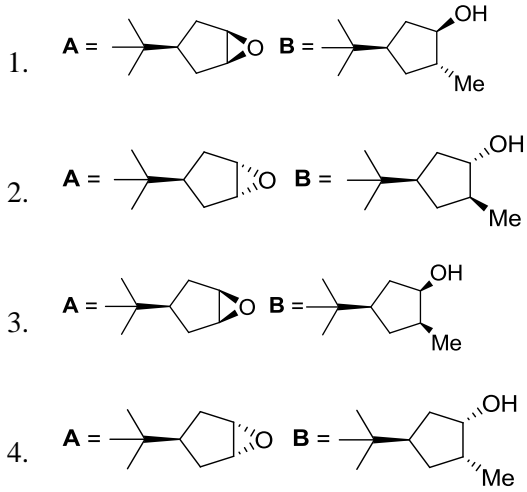


4.

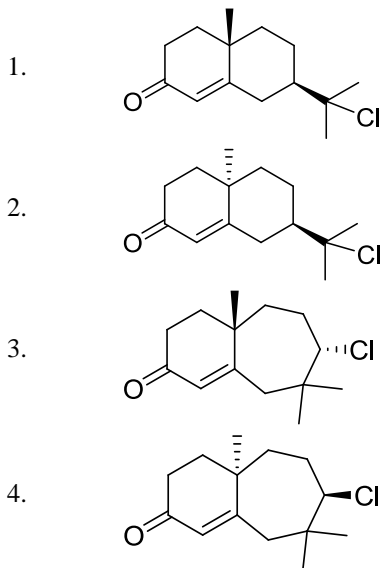
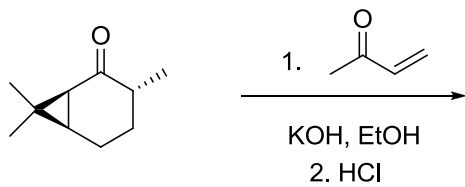


99. The major products A and B in the following reaction sequence are

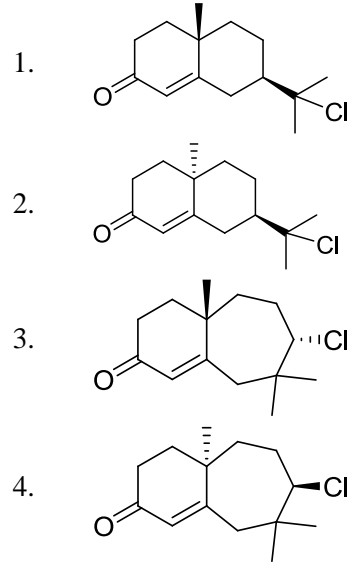
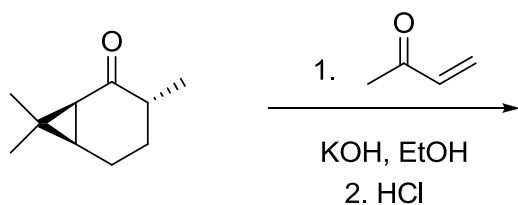




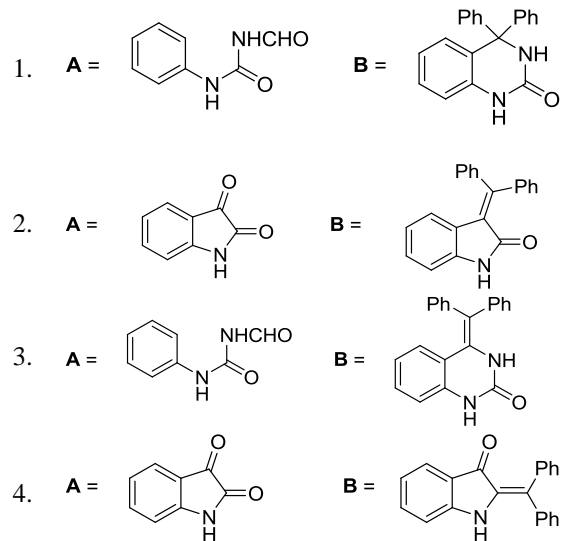
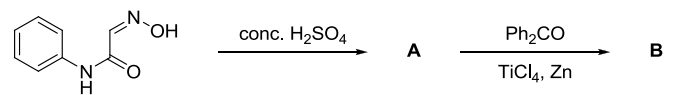
100. निम्नलिखित अभिक्रिया क्रम में विरचित मुख्य उत्पाद है



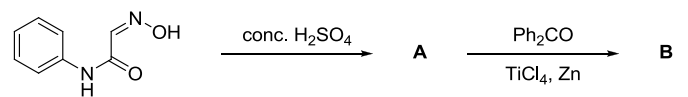
100. The major product formed in the following reaction sequence is



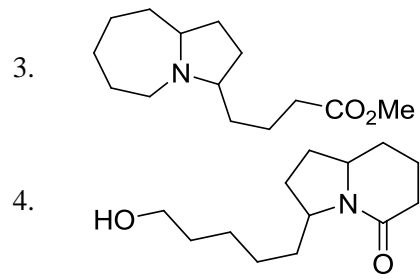
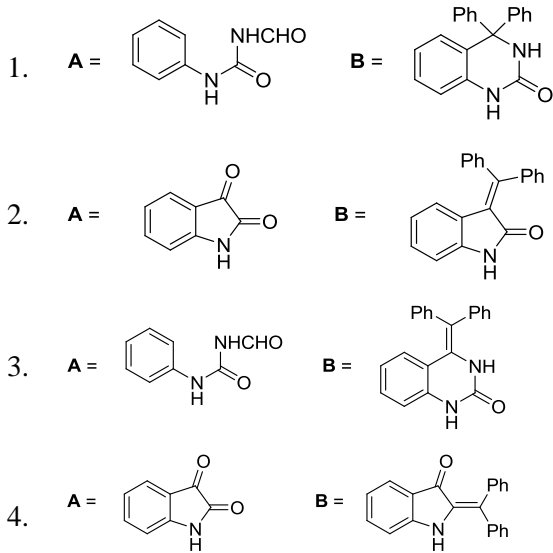
101. निम्नलिखित अभिक्रिया क्रम में उत्पाद A तथा B हैं



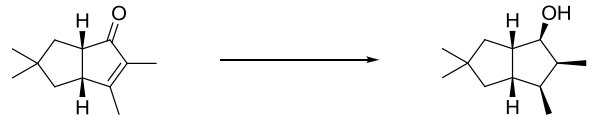
101. The major products A and B in the following reaction sequence are





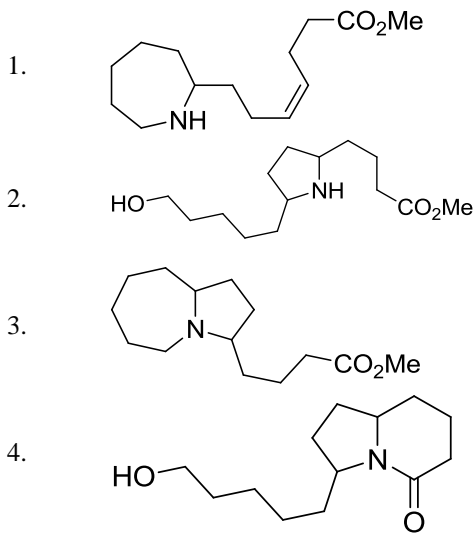
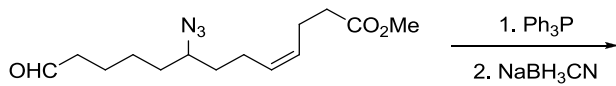


103. निम्नलिखित अभिक्रिया को प्रभावी करने के लिए अभिकर्मकों का सही संयोजन है

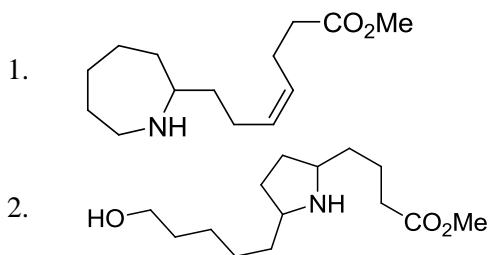
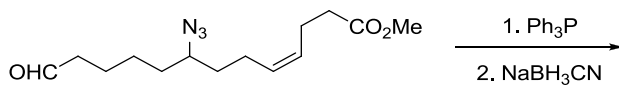


- i.  $\text{NaBH}_4$ ,  $\text{CeCl}_3$ ,  $\text{MeOH}$ ,  $0^\circ\text{C}$ ;  
ii.  $\text{H}_2$ ,  $[\text{Ir}(\text{COD})(\text{py})\text{P}(\text{Cy})_3]\text{PF}_6$ ;  
iii.  $\text{Ph}_3\text{P}$ ,  $\text{PhCO}_2\text{H}$ ,  $\text{DEAD}$ ;  
iv.  $\text{LiAlH}_4$ .
- i.  $\text{Li}$ , द्रव  $\text{NH}_3$ ;  
ii.  $\text{H}_2$ ,  $[\text{Ir}(\text{COD})(\text{py})\text{P}(\text{Cy})_3]\text{PF}_6$ ;  
iii.  $\text{Ph}_3\text{P}$ ,  $\text{PhCO}_2\text{H}$ ,  $\text{DIAD}$ ;  
iv.  $\text{NaBH}_4$ ,  $\text{CeCl}_3$ ,  $\text{MeOH}$ ,  $0^\circ\text{C}$ .
- i.  $\text{H}_2$ ,  $\text{Pd/C}$ ; ii.  $\text{LiAlH}_4$ ,  $-78^\circ\text{C}$ .
- i.  $\text{H}_2$ ,  $\text{Pd/C}$ ; ii.  $\text{Li}$ , द्रव  $\text{NH}_3$ .

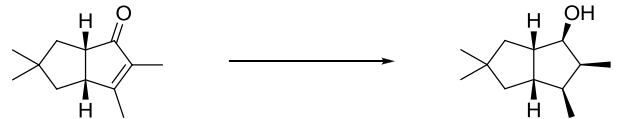
102. निम्नलिखित अभिक्रिया में मुख्य उत्पाद है



102. The major product in the following reaction is

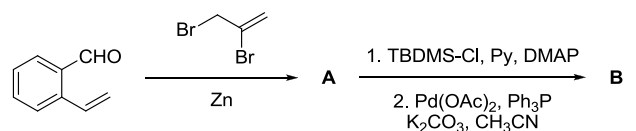


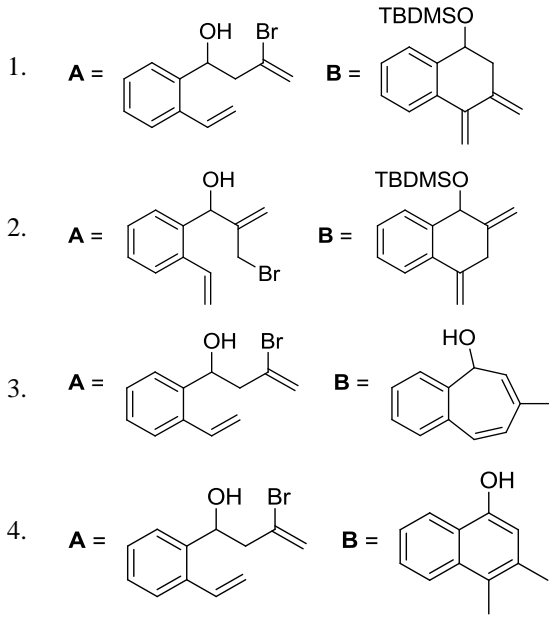
103. The correct reagent combination to effect the following reaction is



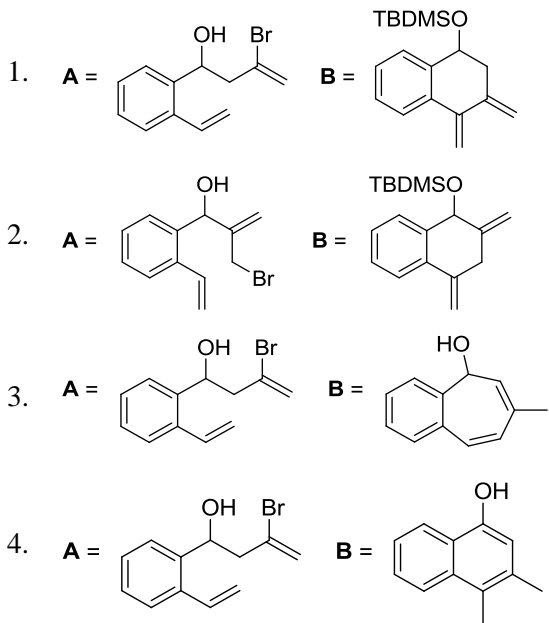
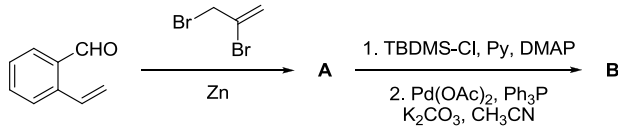
- i.  $\text{NaBH}_4$ ,  $\text{CeCl}_3$ ,  $\text{MeOH}$ ,  $0^\circ\text{C}$ ;  
ii.  $\text{H}_2$ ,  $[\text{Ir}(\text{COD})(\text{py})\text{P}(\text{Cy})_3]\text{PF}_6$ ;  
iii.  $\text{Ph}_3\text{P}$ ,  $\text{PhCO}_2\text{H}$ ,  $\text{DEAD}$ ; iv.  $\text{LiAlH}_4$ .
- i.  $\text{Li}$ , liquid  $\text{NH}_3$ ;  
ii.  $\text{H}_2$ ,  $[\text{Ir}(\text{COD})(\text{py})\text{P}(\text{Cy})_3]\text{PF}_6$ ;  
iii.  $\text{Ph}_3\text{P}$ ,  $\text{PhCO}_2\text{H}$ ,  $\text{DIAD}$ ;  
iv.  $\text{NaBH}_4$ ,  $\text{CeCl}_3$ ,  $\text{MeOH}$ ,  $0^\circ\text{C}$ .
- i.  $\text{H}_2$ ,  $\text{Pd/C}$ ; ii.  $\text{LiAlH}_4$ ,  $-78^\circ\text{C}$ .
- i.  $\text{H}_2$ ,  $\text{Pd/C}$ ; ii.  $\text{Li}$ , liquid  $\text{NH}_3$ .

104. निम्नलिखित अभिक्रिया क्रम के लिए मुख्य उत्पाद A तथा B हैं

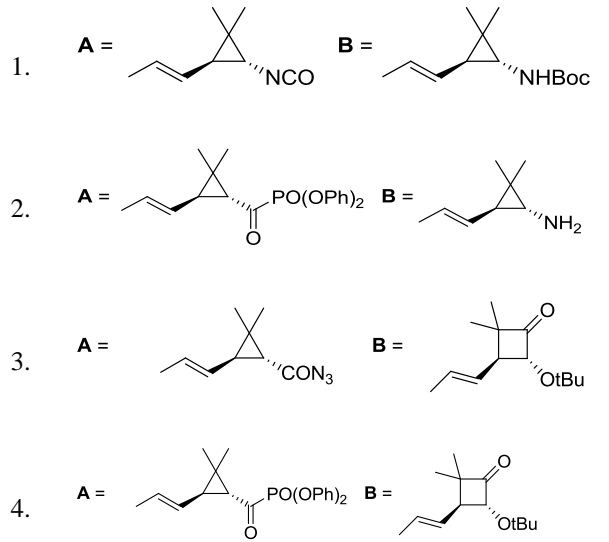
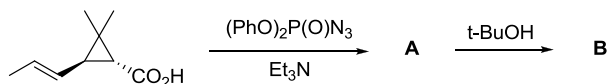




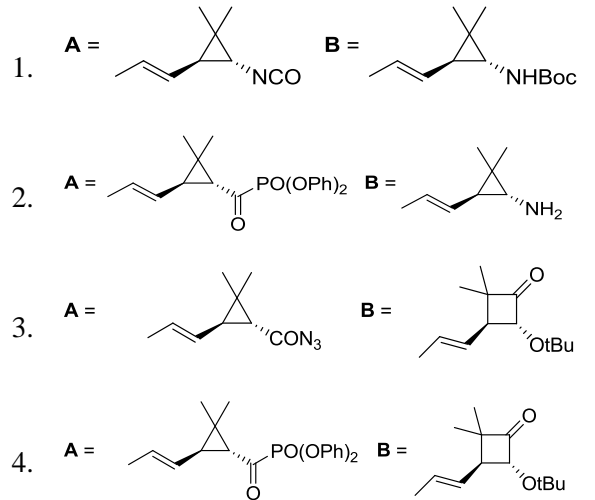
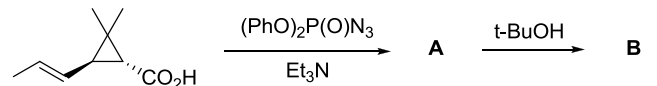
104. The major products **A** and **B** in the following reaction sequence are



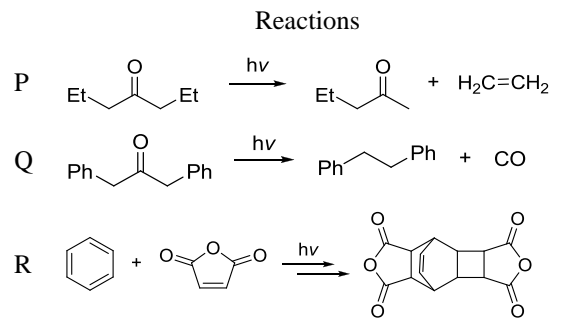
105. निम्नलिखित अभिक्रिया क्रम में मध्यवर्ती **A** तथा मुख्य उत्पाद **B** की संरचनायें हैं

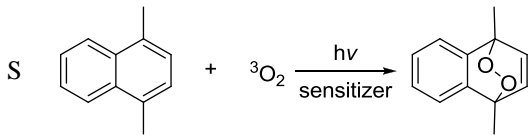


105. Structures of the intermediate **A** and the major product **B** in the following reaction sequence are



106. निम्नलिखित रूपांतरणों P-S से प्रक्रमों I-IV का सही मिलान है





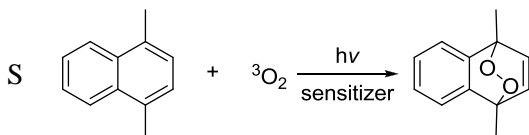
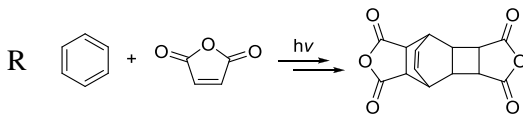
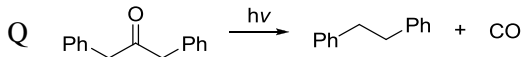
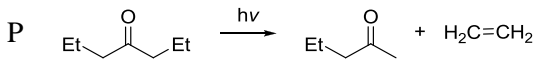
प्रक्रियाएं : I. डील्स-ऐल्डर  
II. नॉरिश टाइप I  
III. प्रकाशीय साइकलो संकलन तत्पश्चात् डील्स-ऐल्डर

IV. नॉरिश टाइप II

1. P-II; Q-IV; R-III; S-I
2. P-II; Q-IV; R-I; S-II
3. P-IV; Q-II; R-III; S-I
4. P-IV; Q-II; R-I; S-III

106. The correct match for the following transformations P-S with the processes I-IV is

Reactions

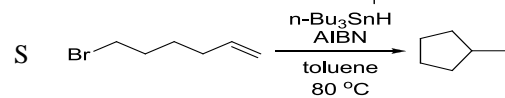
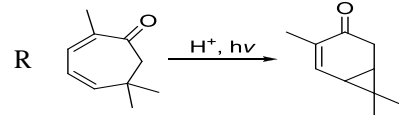
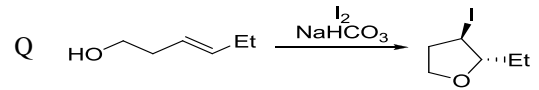
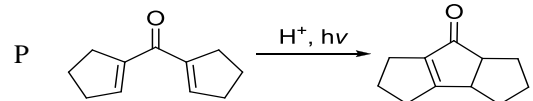


Processes: I. Diels-Alder  
II. Norrish Type I  
III. photocycloaddition followed by Diels-Alder  
IV. Norrish Type II

1. P-II; Q-IV; R-III; S-I
2. P-II; Q-IV; R-I; S-II
3. P-IV; Q-II; R-III; S-I
4. P-IV; Q-II; R-I; S-III

107. अभिक्रियाओं P-S का साइकलीकरण के नामों I-IV के साथ सही मिलान है।

Reactions

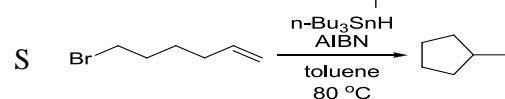
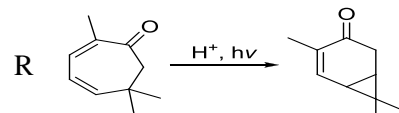
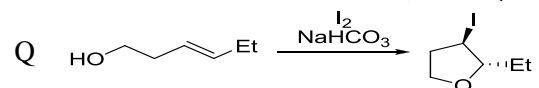
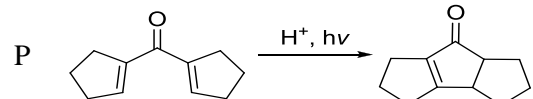


साइकलीकरणों के नाम : I. हैलो साइकलीकरण  
II. Nazarov साइकलीकरण  
III. मूलक साइकलीकरण  
IV. इलक्ट्रो साइकलीकरण

1. P-IV; Q-I; R-II; S-III
2. P-II; Q-I; R-IV; S-III
3. P-IV; Q-II; R-III; S-I
4. P-II; Q-I; R-III; S-IV

107. The correct match for the reactions P-S with the names of cyclizations I-IV is

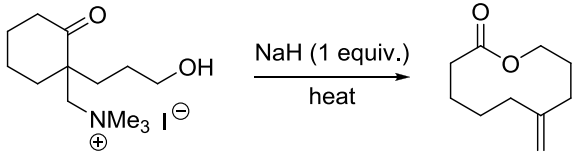
Reactions



Names of cyclizations: I. halocyclization  
II. Nazarov cyclization  
III. radical cyclization  
IV. electrocyclic

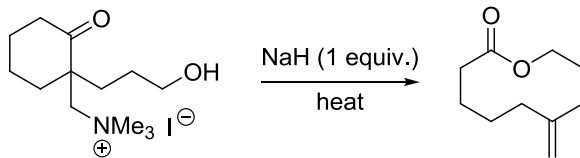
1. P-IV; Q-I; R-II; S-III
2. P-II; Q-I; R-IV; S-III
3. P-IV; Q-II; R-III; S-I
4. P-II; Q-I; R-III; S-IV

108. निम्नलिखित अभिक्रिया के उत्पाद को जो मध्यवर्ती देता है, उसकी सही संरचना है



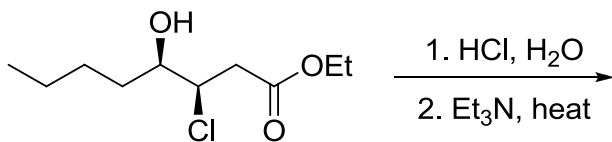
- 1.
- 2.
- 3.
- 4.

108. The correct structure of the intermediate, which leads to the product in the following reaction is

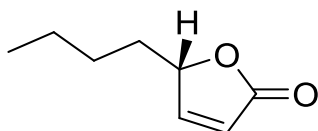


- 1.
- 2.
- 3.
- 4.

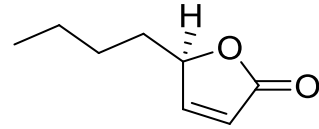
109. निम्नलिखित अभिक्रिया में विरचित मुख्य उत्पाद है



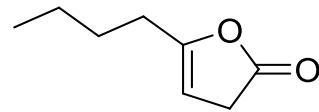
1.



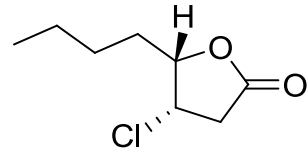
2.



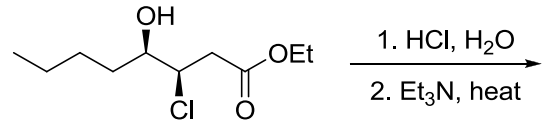
3.



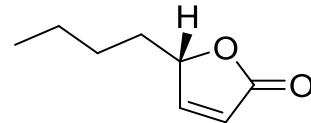
4.



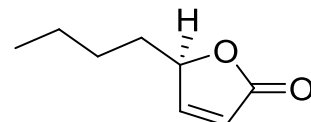
109. The major product formed in the following reaction is



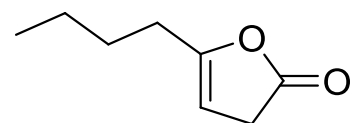
1.



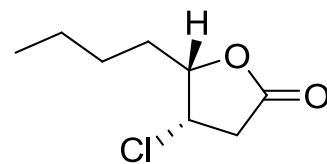
2.



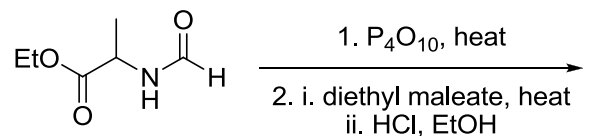
3.

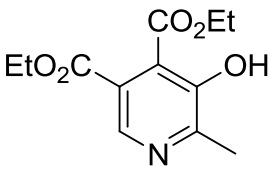
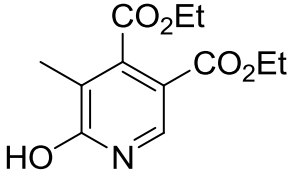
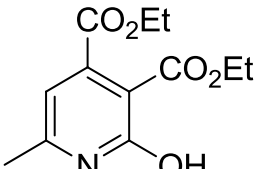
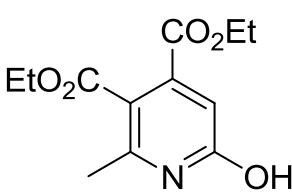


4.

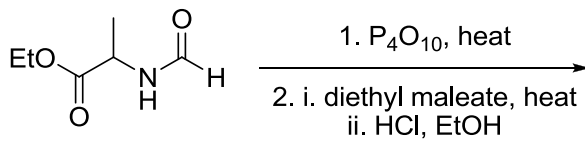


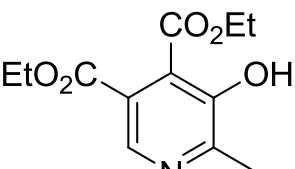
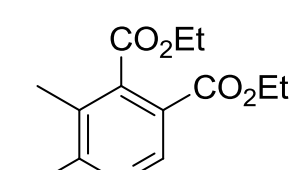
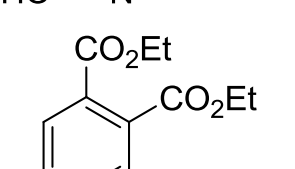
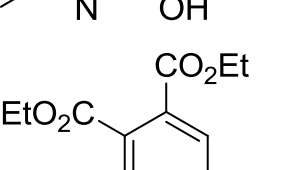
110. निम्नलिखित अभिक्रिया में विरचित मुख्य उत्पाद है



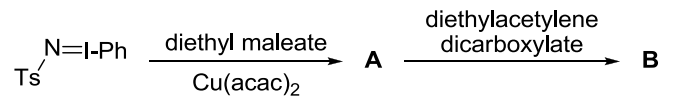
1. 
2. 
3. 
4. 

110. The major product formed in the following reaction is



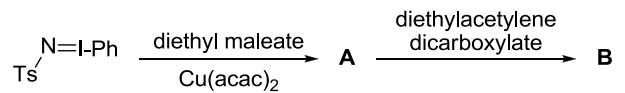
1. 
2. 
3. 
4. 

111. निम्नलिखित अभिक्रिया क्रम में विरचित मुख्य उत्पाद A तथा B हैं



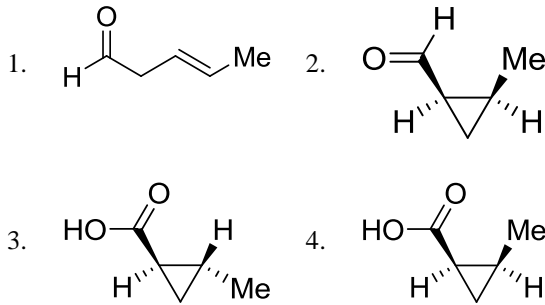
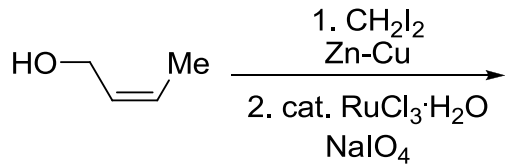
1.  $\text{A} = \text{Ts}-\text{N} \begin{matrix} \nearrow \text{CO}_2\text{Et} \\ \searrow \text{CO}_2\text{Et} \end{matrix}$        $\text{B} = \text{Ts}-\text{N} \begin{matrix} \nearrow \text{CO}_2\text{Et} \\ \searrow \text{CO}_2\text{Et} \end{matrix} \begin{matrix} \nearrow \text{CO}_2\text{Et} \\ \searrow \text{CO}_2\text{Et} \end{matrix}$
2.  $\text{A} = \text{Ts}-\text{N} \begin{matrix} \nearrow \text{CO}_2\text{Et} \\ \searrow \text{CO}_2\text{Et} \end{matrix}$        $\text{B} = \text{Ts}-\text{N} \begin{matrix} \nearrow \text{CO}_2\text{Et} \\ \searrow \text{CO}_2\text{Et} \end{matrix} \begin{matrix} \nearrow \text{CO}_2\text{Et} \\ \searrow \text{CO}_2\text{Et} \end{matrix}$
3.  $\text{A} = \text{Ts}-\text{N} \begin{matrix} \nearrow \text{CO}_2\text{Et} \\ \searrow \text{CO}_2\text{Et} \end{matrix}$        $\text{B} = \text{Ts}-\text{N} \begin{matrix} \nearrow \text{CO}_2\text{Et} \\ \searrow \text{CO}_2\text{Et} \end{matrix} \begin{matrix} \nearrow \text{CO}_2\text{Et} \\ \searrow \text{CO}_2\text{Et} \end{matrix}$
4.  $\text{A} = \text{Ts}-\text{N} \begin{matrix} \nearrow \text{CO}_2\text{Et} \\ \searrow \text{CO}_2\text{Et} \end{matrix}$        $\text{B} = \text{Ts}-\text{N} \begin{matrix} \nearrow \text{CO}_2\text{Et} \\ \searrow \text{CO}_2\text{Et} \end{matrix} \begin{matrix} \nearrow \text{CO}_2\text{Et} \\ \searrow \text{CO}_2\text{Et} \end{matrix}$

111. The major products A and B formed in the following reaction sequence are

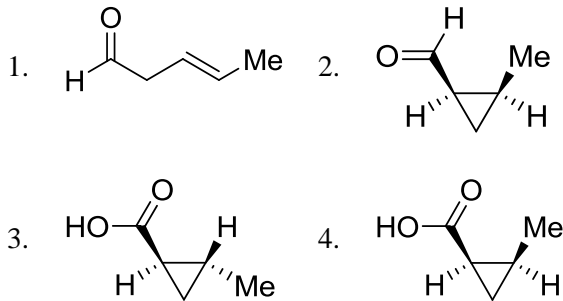
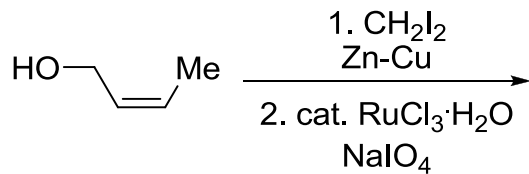


1.  $\text{A} = \text{Ts}-\text{N} \begin{matrix} \nearrow \text{CO}_2\text{Et} \\ \searrow \text{CO}_2\text{Et} \end{matrix}$        $\text{B} = \text{Ts}-\text{N} \begin{matrix} \nearrow \text{CO}_2\text{Et} \\ \searrow \text{CO}_2\text{Et} \end{matrix} \begin{matrix} \nearrow \text{CO}_2\text{Et} \\ \searrow \text{CO}_2\text{Et} \end{matrix}$
2.  $\text{A} = \text{Ts}-\text{N} \begin{matrix} \nearrow \text{CO}_2\text{Et} \\ \searrow \text{CO}_2\text{Et} \end{matrix}$        $\text{B} = \text{Ts}-\text{N} \begin{matrix} \nearrow \text{CO}_2\text{Et} \\ \searrow \text{CO}_2\text{Et} \end{matrix} \begin{matrix} \nearrow \text{CO}_2\text{Et} \\ \searrow \text{CO}_2\text{Et} \end{matrix}$
3.  $\text{A} = \text{Ts}-\text{N} \begin{matrix} \nearrow \text{CO}_2\text{Et} \\ \searrow \text{CO}_2\text{Et} \end{matrix}$        $\text{B} = \text{Ts}-\text{N} \begin{matrix} \nearrow \text{CO}_2\text{Et} \\ \searrow \text{CO}_2\text{Et} \end{matrix} \begin{matrix} \nearrow \text{CO}_2\text{Et} \\ \searrow \text{CO}_2\text{Et} \end{matrix}$
4.  $\text{A} = \text{Ts}-\text{N} \begin{matrix} \nearrow \text{CO}_2\text{Et} \\ \searrow \text{CO}_2\text{Et} \end{matrix}$        $\text{B} = \text{Ts}-\text{N} \begin{matrix} \nearrow \text{CO}_2\text{Et} \\ \searrow \text{CO}_2\text{Et} \end{matrix} \begin{matrix} \nearrow \text{CO}_2\text{Et} \\ \searrow \text{CO}_2\text{Et} \end{matrix}$

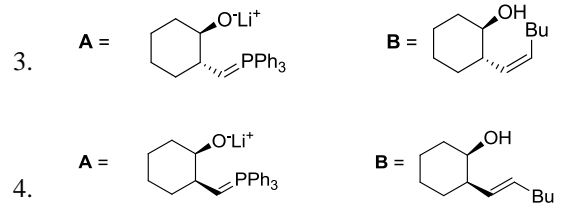
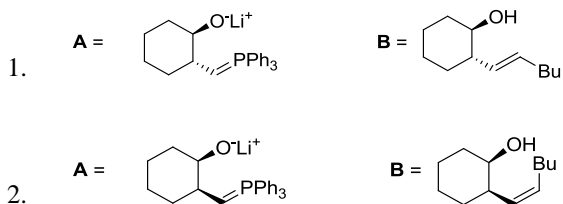
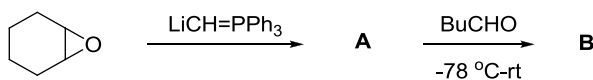
112. निम्नलिखित अभिक्रिया में उत्पन्न मुख्य उत्पाद है



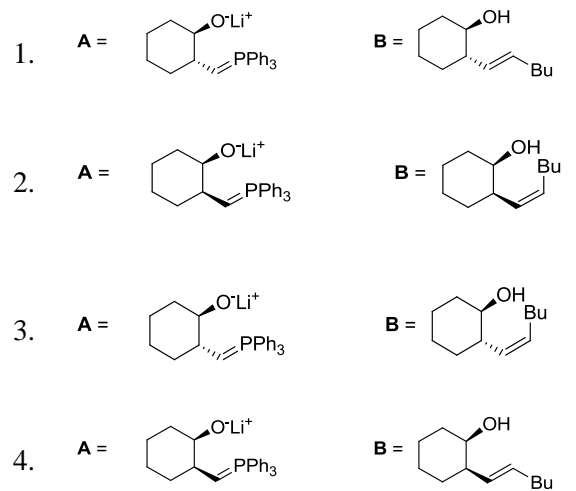
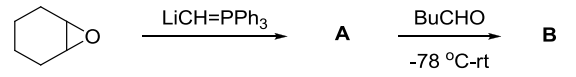
112. The major product formed in the following reaction is



113. निम्नलिखित अभिक्रिया क्रम में मध्यवर्ती A तथा मुख्य उत्पाद B हैं

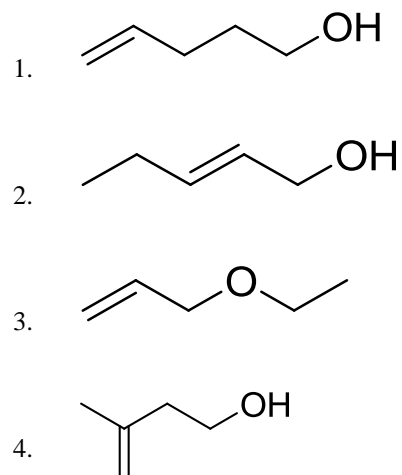


113. The intermediate A and the major product B in the following reaction sequence are

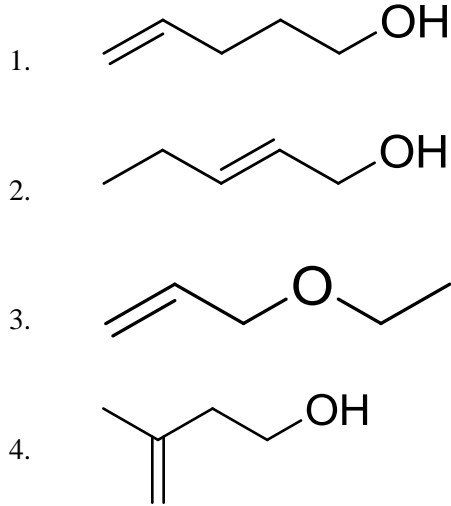


114. निम्नलिखित  $^{13}\text{C}$  NMR DEPT-135 आंकड़े दर्शाने वाले यौगिक की सही संरचना है।

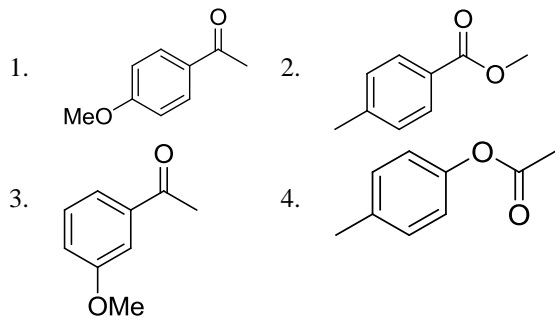
$^{13}\text{C}$  NMR DEPT-135: ऋणात्मक शीर्ष  $\delta$  30.2, 31.9, 61.8, 114.7 ppm पर; धनात्मक शीर्ष 130.4 ppm पर



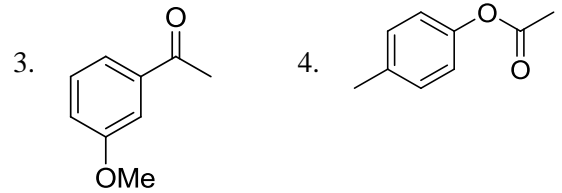
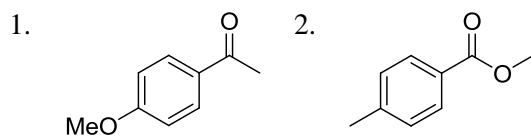
114. The correct structure of the compound, which shows following  $^{13}\text{C}$  NMR DEPT-135 data is  $^{13}\text{C}$  NMR DEPT-135: negative peaks at  $\delta$  30.2, 31.9, 61.8, 114.7 ppm; positive peak at 130.4 ppm



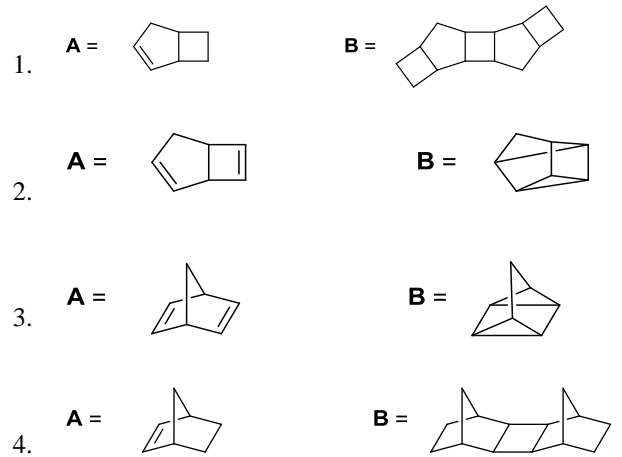
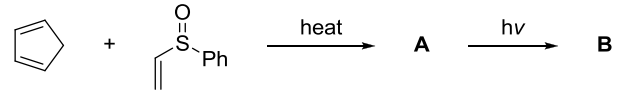
115. एक यौगिक निम्नलिखित स्पेक्ट्रम आंकड़े दर्शाता है। यौगिक की सही संरचना है  
 IR:  $1690\text{ cm}^{-1}$   
 $^1\text{H}$  NMR:  $\delta$  2.5 (s, 3H), 3.8 (s, 3H), 6.9 (d,  $J = 8$  Hz, 2H), 7.8 (d,  $J = 8$  Hz, 2H) ppm  $^{13}\text{C}$  NMR:  $\delta$  197, 165, 130, 129, 114, 56, 26 ppm



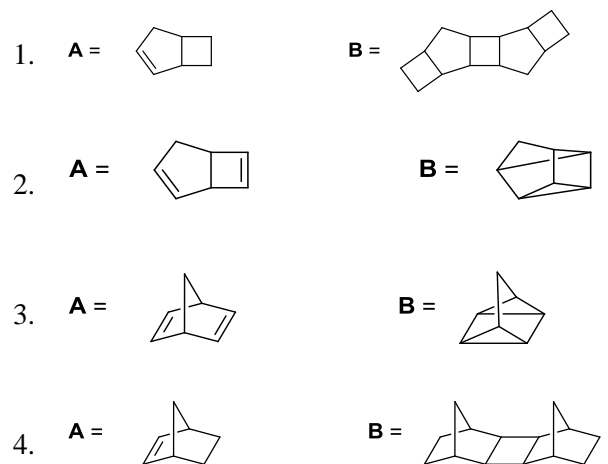
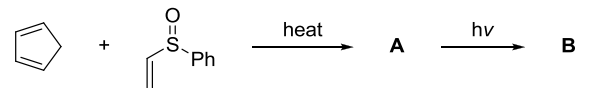
115. A compound displays the following spectral data. The correct structure of the compound is  
 IR:  $1690\text{ cm}^{-1}$   
 $^1\text{H}$  NMR:  $\delta$  2.5 (s, 3H), 3.8 (s, 3H), 6.9 (d,  $J = 8$  Hz, 2H), 7.8 (d,  $J = 8$  Hz, 2H) ppm  $^{13}\text{C}$  NMR:  $\delta$  197, 165, 130, 129, 114, 56, 26 ppm



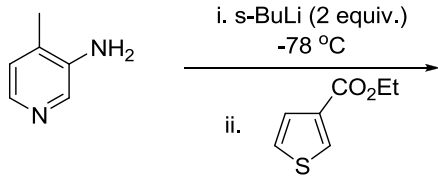
116. निम्नलिखित अभिक्रिया क्रम में उत्पन्न मुख्य उत्पाद A तथा B हैं



116. The major products A and B formed in the following reaction sequence are

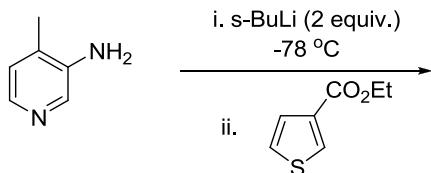


117. निम्नलिखित अभिक्रिया में विरचित मुख्य उत्पाद है



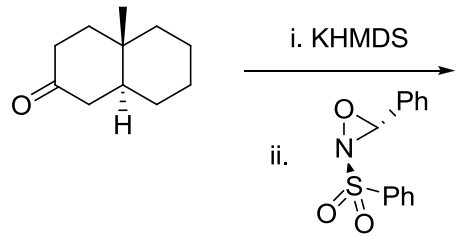
- 1.
- 2.
- 3.
- 4.

117. The major product formed in the following reaction is



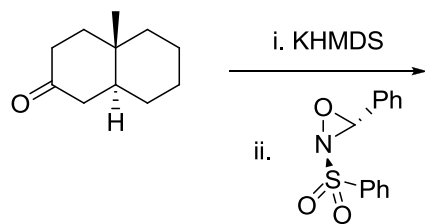
- 1.
- 2.
- 3.
- 4.

118. निम्नलिखित अभिक्रिया में विरचित मुख्य उत्पाद है



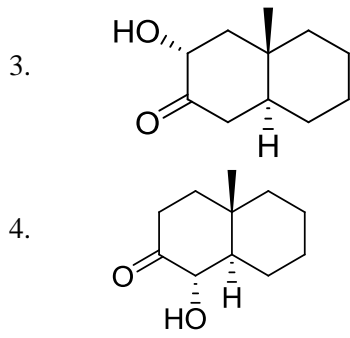
- 1.
- 2.
- 3.
- 4.

118. The major product formed in the following reaction is

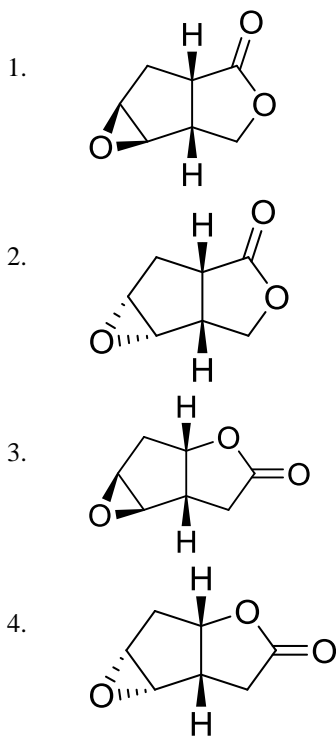
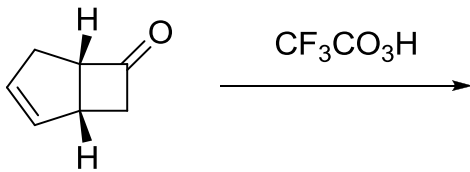


- 1.
- 2.

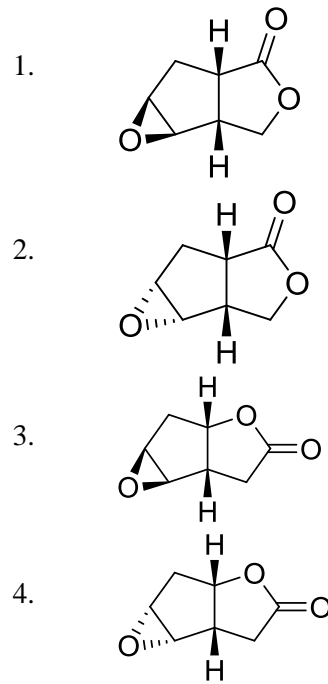
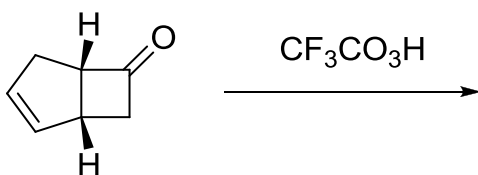




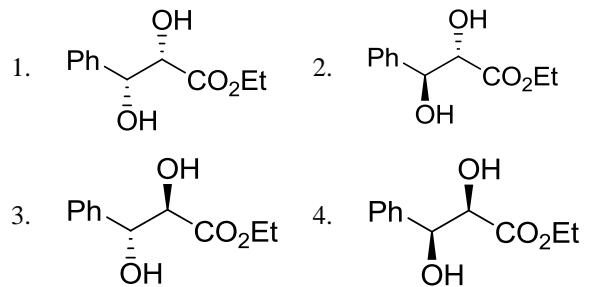
119. निम्नलिखित अभिक्रिया में विरचित मुख्य उत्पाद है



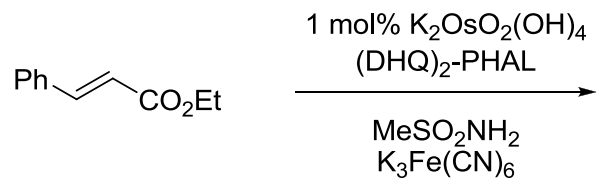
119. The major product formed in the following reaction is

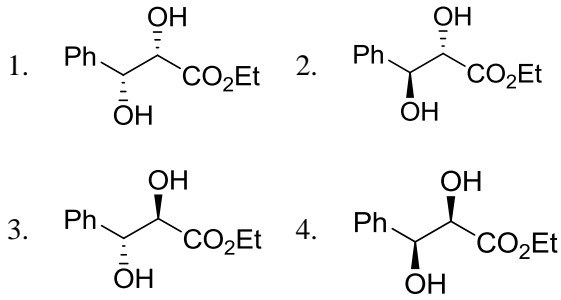


120. निम्नलिखित अभिक्रिया में विरचित मुख्य उत्पाद है



120. The major product formed in the following reaction is

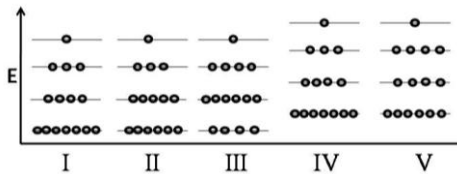




121. एक आदर्श गैस के लिए एक निश्चित आयतन  $V$  में, एक कण स्थानांतरित विभाजन फलन ( $f$ ) तापीय ये ब्राग्ली तरंग दैर्घ्य  $\lambda_{th}$  पर इस प्रकार निर्भर करता है, कि:  $f \sim (\lambda_{th})^n$  यहां
1.  $n = 3$
  2.  $n = 1$
  3.  $n = -1$
  4.  $n = -3$

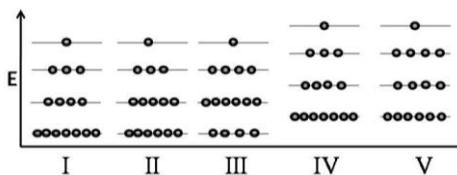
121. The single-particle translational partition function ( $f$ ) for an ideal gas in a fixed volume  $V$  depends on the thermal de Broglie wavelength  $\lambda_{th}$  as  $f \sim (\lambda_{th})^n$  where
1.  $n = 3$
  2.  $n = 1$
  3.  $n = -1$
  4.  $n = -3$

122. 15 कणों को अवस्था I में दर्शाये 4 स्तरों में वितरित किया गया है। इस निकाय को ऊष्मा देने पर कोई कार्य नहीं होता है। अंतिम अवस्था हो सकती है



1. II
2. III
3. IV
4. V

122. 15 particles are distributed among 4 levels as shown in state I. Heat is given to the system and no work is done. The final state could be



1. II
2. III
3. IV
4. V

123. एक NMR स्पेक्ट्रोमीटर में 2.5T का चुम्बक सम्मिलित है।  $^1\text{H}$  की लारमोर पुरस्सरण आवृत्ति 100 MHz है। इस स्पेक्ट्रोमीटर में उपयोग की गयी रेडियो आवृत्ति से सम्बद्ध चुम्बकीय क्षेत्र तीव्रता  $2.5 \times 10^{-4}\text{T}$  है। इस उपकरण में  $90^\circ$  पल्स की अवधि है

1.  $25 \times 10^{-6}\text{s}$
2.  $50 \times 10^{-6}\text{s}$
3.  $25 \times 10^{-5}\text{s}$
4.  $50 \times 10^{-5}\text{s}$

123. In an NMR spectrometer containing a 2.5T magnet, Larmor precession frequency of  $^1\text{H}$  is 100 MHz. The radiofrequency used in this spectrometer has an associated magnetic field strength of  $2.5 \times 10^{-4}\text{T}$ . The duration of a  $90^\circ$  pulse in this instrument is

1.  $25 \times 10^{-6}\text{s}$
2.  $50 \times 10^{-6}\text{s}$
3.  $25 \times 10^{-5}\text{s}$
4.  $50 \times 10^{-5}\text{s}$

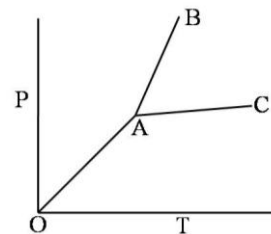
124. एक दुर्बल चुम्बकीय क्षेत्र लगाने पर, दृढ़ घूर्णक के माइक्रोवेव अवशोषण स्पेक्ट्रम में एक लाइन 3 लाइनों में विभाजित हो जाती है। घूर्णात्मक ऊर्जा स्तर जिससे संक्रमण आरम्भ होता है उसकी क्वान्टम संख्या ( $J$ ) है

1. 0
2. 1
3. 2
4. 3

124. Upon application of a weak magnetic field, a line in the microwave absorption spectrum of rigid rotor splits into 3 lines. The quantum number ( $J$ ) of the rotational energy level from which the transition originates is

1. 0
2. 1
3. 2
4. 3

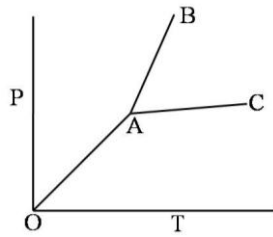
125. एक यौगिक का प्रावस्था आरेख नीचे दर्शाया गया है :



- लाइनों OA, AC तथा AB के स्लोप हैं क्रमशः  $\tan \frac{\pi}{4}$ ,  $\tan \frac{\pi}{6}$  तथा  $\tan \frac{\pi}{3}$ . यदि ग्लानंक तथा गलन के लिए  $\Delta H$  क्रमशः 300 K तथा  $3 \text{ kJ mol}^{-1}$  हों, तो गलने पर आयतन में जो परिवर्तन होगा वह है

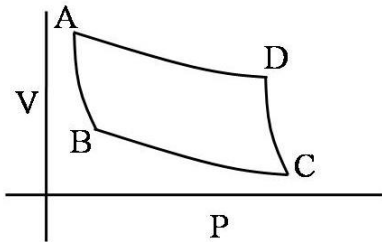
1.  $10 \tan \frac{\pi}{3}$
2.  $10 \tan \frac{\pi}{4}$
3.  $10 \cot \frac{\pi}{3}$
4.  $10 \cot \frac{\pi}{4}$

125. Phase diagram of a compound is shown below:

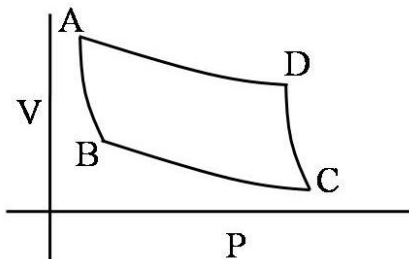


The slopes of the lines OA, AC and AB are  $\tan\frac{\pi}{4}$ ,  $\tan\frac{\pi}{6}$  and  $\tan\frac{\pi}{3}$ , respectively. If melting point and  $\Delta H$  of melting are 300 K and  $3 \text{ kJ mol}^{-1}$  respectively, the change in volume on melting is

1.  $10 \tan\frac{\pi}{3}$                       2.  $10 \tan\frac{\pi}{4}$   
 3.  $10 \cot\frac{\pi}{3}$                       4.  $10 \cot\frac{\pi}{4}$
126. कार्नो इंजन कैसे काम करता है यह निम्न चित्र में वर्णित है। यह एक रुद्धोष्म संपीडन पद से प्रारंभ होता है। इसको जिससे निर्दिष्ट किया गया है, वह है



1. AB                                      2. BC  
 3. DC                                      4. AD
126. The figure below describes how a Carnot engine works. It starts from the adiabatic compression step denoted by



1. AB                                      2. BC  
 3. DC                                      4. AD

127. बिन्दु समूह  $C_4$  में सममिति संक्रिया  $\sigma_h$  के संकलन से जो बिन्दु समूह प्राप्त होता है, वह है
1.  $S_4$                                       2.  $C_{4h}$   
 3.  $D_{2h}$                                     4.  $D_4$

127. The point group obtained by adding symmetry operation  $\sigma_h$  to the point group  $C_4$  is
1.  $S_4$                                       2.  $C_{4h}$   
 3.  $D_{2h}$                                     4.  $D_4$

128.  $m$  संहति का कण एक आयताकार बाक्स जिसकी भुजाये  $2a$  तथा  $a$  हैं, में परिसीमित है। इसकी प्रथम उत्तेजित अवस्था के लिए ऊर्जा तथा अपभ्रष्टता क्रमशः हैं

1.  $\frac{h^2}{8m} \left(\frac{2}{a^2}\right), 1$                       2.  $\frac{h^2}{8m} \left(\frac{17}{4a^2}\right), 2$   
 3.  $\frac{h^2}{8m} \left(\frac{5}{4a^2}\right), 1$                       4.  $\frac{h^2}{8m} \left(\frac{5}{a^2}\right), 2$

128. For a particle of mass  $m$  confined in a rectangular box with sides  $2a$  and  $a$ , the energy and degeneracy of the first excited state, respectively, are

1.  $\frac{h^2}{8m} \left(\frac{2}{a^2}\right), 1$                       2.  $\frac{h^2}{8m} \left(\frac{17}{4a^2}\right), 2$   
 3.  $\frac{h^2}{8m} \left(\frac{5}{4a^2}\right), 1$                       4.  $\frac{h^2}{8m} \left(\frac{5}{a^2}\right), 2$

129. हाइड्रोजन परमाणु की निम्नतम अवस्था में आयनन ऊर्जा लगभग 13.6 eV है।  $\text{He}^+$  की निम्नतम अवस्था में स्थितिज ऊर्जा है लगभग
1.  $-54.4 \text{ eV}$                                       2.  $-27.2 \text{ eV}$   
 3.  $-13.6 \text{ eV}$                                       4.  $-108.8 \text{ eV}$

129. The ionization energy of hydrogen atom in its ground state is approximately 13.6 eV. The potential energy of  $\text{He}^+$ , in its ground state is approximately

1.  $-54.4 \text{ eV}$                                       2.  $-27.2 \text{ eV}$   
 3.  $-13.6 \text{ eV}$                                       4.  $-108.8 \text{ eV}$

130.  $D_3$  बिन्दु समूह के लिए अभिलक्षण सारिणी नीचे दी गयी है

$D_3$	E	$2C_3$	$3C_2$		
$A_1$	1	1	1		$x^2+y^2, z^2$
$A_2$	1	1	-1	$z, R_z$	
E	2	-1	0	$(x, y),$ $(R_x, R_y)$	$(x^2-y^2, xy),$ $(xz, yz)$

इस बिन्दु समूह के लिए निम्नलिखित में से सही कथन है

- पूर्ण रूप से सममित कंपनी के नार्मल मोड जो IR-सक्रिय हैं का, होना संभव है।
- सभी IR-सक्रिय नार्मल मोडों का रामन सक्रिय होना आवश्यक है।
- सभी रामन नार्मल मोडों का IR-सक्रिय होना आवश्यक है।
- IR-सक्रिय नार्मल मोडों के एक युग्म का जो अपभ्रष्ट हों, का होना संभव है।

130. The character table for the  $D_3$  point group is provided below:

$D_3$	E	2C	3C		
$A_1$	1	1	1		$x^2+y^2, z^2$
$A_2$	1	1	-1	$z, R_z$	
E	2	-1	0	$(x, y), (R_x, R_y)$	$(x^2-y^2, xy), (xz, yz)$

For this point group, the correct statement among the following is:

- It is possible to have a totally symmetric normal mode of vibration which is IR-active.
- All IR-active normal modes are necessarily Raman inactive
- All Raman-active normal modes are necessarily IR-active
- It is possible to have a pair of IR-active normal modes that are degenerate.

131. मान लीजिए कि बढ़ती ऊर्जा के क्रम में  $\psi_1, \psi_2, \psi_3 \dots$  एक अप्रसंवादी दोलित्र के तरंग फलन हैं और  $\phi_0, \phi_1, \phi_2, \dots$  एक सरल आवर्ती दोलक के तरंग फलन हैं। पादांक दोनों फलनों में कम्पन क्वान्टम संख्या दर्शाते हैं। दिया है

$$\begin{aligned}\psi_0 &= a_1\phi_0 + a_2\phi_2 + a_3\phi_4 \\ \psi_1 &= b_1\phi_0 + b_2\phi_4 + b_3\phi_6 \\ \psi_2 &= c_1\phi_1 + c_2\phi_4 \\ \psi_3 &= d_1\phi_3 + d_2\phi_5\end{aligned}$$

निम्नलिखित में से निषिद्ध (FORBIDDEN) विद्युत द्विध्रुव संक्रमण है (द्विध्रुव आपरेटर को नार्मल निर्देशांक में रेखिक मान लीजिए)

- $\psi_0 \rightarrow \psi_1$
- $\psi_0 \rightarrow \psi_2$
- $\psi_0 \rightarrow \psi_3$
- $\psi_1 \rightarrow \psi_2$

131. Suppose  $\psi_1, \psi_2, \psi_3 \dots$  are wavefunctions of an anharmonic oscillator and  $\phi_0, \phi_1, \phi_2, \dots$  are wavefunctions of a harmonic oscillator with increasing order of energy. The subscripts denote vibrational quantum numbers in both the cases. Given

$$\begin{aligned}\psi_0 &= a_1\phi_0 + a_2\phi_2 + a_3\phi_4 \\ \psi_1 &= b_1\phi_0 + b_2\phi_4 + b_3\phi_6 \\ \psi_2 &= c_1\phi_1 + c_2\phi_4 \\ \psi_3 &= d_1\phi_3 + d_2\phi_5\end{aligned}$$

the FORBIDDEN electric dipole (assuming the dipole operator is linear in normal coordinates) transition among the following is

- $\psi_0 \rightarrow \psi_1$
- $\psi_0 \rightarrow \psi_2$
- $\psi_0 \rightarrow \psi_3$
- $\psi_1 \rightarrow \psi_2$

132. यदि  $V$  तथा  $T$  का फलन  $U$  हो तो  $\left(\frac{\partial U}{\partial T}\right)_P$  जिसके बराबर होता है, वह है ( $\pi$  तथा  $\alpha$  क्रमशः आंतरिक दाब तथा तापीय प्रसरण गुणांक है)

- $C_P$
- $C_V$
- $C_P - \pi V \alpha$
- $C_V + \pi V \alpha$

132. If  $U$  is a function of  $V$  and  $T$ ,  $\left(\frac{\partial U}{\partial T}\right)_P$  is equal to ( $\pi$  and  $\alpha$  are the internal pressure and the coefficient of thermal expansion, respectively.)

- $C_P$
- $C_V$
- $C_P - \pi V \alpha$
- $C_V + \pi V \alpha$

133.  $C_{3v}$  बिन्दु समूह की अभिलक्षणिक सारणी अतिरिक्त खंडनीय निरूपण  $\Gamma$  के साथ नीचे दी गई है

	E	$2C_3$	$3\sigma_v$
$A_1$	1	1	1
$A_2$	1	1	-1
E	2	-1	0
$\Gamma$	6	0	2

$\Gamma$  को जो देता है वह है

- $A_1 + A_2 + 2E$
- $2A_1 + 2E$
- $2A_2 + 2E$
- $2A_1 + 2A_2 + E$

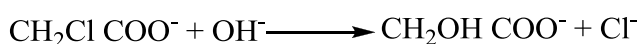
133. The character table of  $C_{3v}$  point group is provided below, along with an additional reducible representation,  $\Gamma$

	E	$2C_3$	$3\sigma_v$
$A_1$	1	1	1
$A_2$	1	1	-1
E	2	-1	0
$\Gamma$	6	0	2

$\Gamma$  is given by

- $A_1 + A_2 + 2E$
- $2A_1 + 2E$
- $2A_2 + 2E$
- $2A_1 + 2A_2 + E$

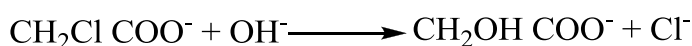
134. जलीय विलयन में रासायनिक अभिक्रिया



के लिए सही कथन है

- दाब का बढ़ना दर नियतांक बढ़ा देता है
- परावैद्युतांक का बढ़ना दर नियतांक बढ़ा देता है
- आयनिक सान्द्रता का बढ़ना दर नियतांक घटा देता है
- सक्रियण की एन्ट्रॉपी धनात्मक है।

134. For the chemical reaction in aqueous solution



the correct statement is:

- Increase of pressure increases the rate constant.
- Increase of dielectric constant increases the rate constant.
- Increase of ionic strength decreases the rate constant.
- The entropy of activation is positive

135. प्रयोग द्वारा प्रेक्षित दर नियतांक का मान यदि संघट्टवाद सिद्धांत के कठोर-गोला मॉडल से प्राप्त दर नियतांक के अधिकतम मान से अधिक है तो संघट्ट प्राचल ( $b$ ) तथा दो अभिकर्मकों की त्रिज्याओं के योग के मध्य संबंध है

- $b = r_1 + r_2$
- $b < r_1 + r_2$
- $b > r_1 + r_2$
- $b \leq r_1 + r_2$

135. If experimentally observed rate constant is greater than the maximum value of rate constant obtained using hard-sphere model of collision theory, then relation between the impact parameter ( $b$ ) and sum of the radii of two reactants is

- $b = r_1 + r_2$
- $b < r_1 + r_2$
- $b > r_1 + r_2$
- $b \leq r_1 + r_2$

136. यदि  $C$  की प्रारंभिक सान्द्रता  $C_0$  है तो तृतीय कोटि की अभिक्रिया  $3C \rightarrow$  उत्पादों को अर्ध आयु होगी

- $\frac{3}{2kC_0^2}$
- $\frac{1}{kC_0}$
- $\frac{3}{2kC_0}$
- $\frac{2}{3kC_0^2}$

136. Half-life  $t_{1/2}$  for a third order reaction  $3C \rightarrow$  products, where  $C_0$  is the initial concentration of  $C$ , will be

- $\frac{3}{2kC_0^2}$
- $\frac{1}{kC_0}$
- $\frac{3}{2kC_0}$
- $\frac{2}{3kC_0^2}$

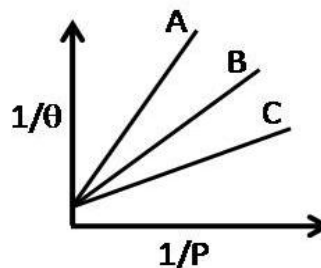
137. एक सरल घनीय जालक के लिए एकक सेल की लम्बाई तथा दो सन्निकट समानान्तर क्रिस्टल समतलों के मध्य वियोजन, के अनुपात का जो मान नहीं हो सकता है, वह है

- $5^{1/2}$
- $7^{1/2}$
- $11^{1/2}$
- $13^{1/2}$

137. For a simple cubic lattice, the ratio between the unit cell length and the separation of two adjacent parallel crystal planes can **NOT** have a value of

- $5^{1/2}$
- $7^{1/2}$
- $11^{1/2}$
- $13^{1/2}$

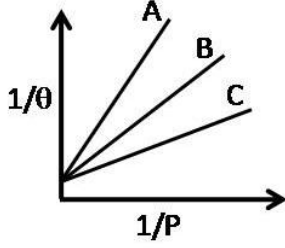
138. तीन गैसों A, B तथा C के अधिशोषण समतापी वक्र निम्न चित्र में दर्शाये गये हैं। जहाँ  $\theta$  सतह का प्रतिशत आच्छादन है



इन गैसों के अधिशोषण परिमाण का सही क्रम है

- $A > B > C$
- $B > A > C$
- $C > A > B$
- $C > B > A$

138. Adsorption isotherm of three gases A, B and C are shown in the following figure, where  $\theta$  is the percentage of surface coverage.



The correct order of the extent of adsorption of these gases is

1.  $A > B > C$
  2.  $B > A > C$
  3.  $C > A > B$
  4.  $C > B > A$
139. हैमिल्टोनियन  $H$  तथा प्रसामान्य लांबिक आधार का चुनाव कर, लगभग ऊर्जा  $\bar{E}_j$  का मान प्राप्त करने के लिए रैखिक विचरण किया गया है। दो आधार (लांबिक) फलनों से  $\bar{E}_1(2) \leq \bar{E}_2(2)$  प्राप्त होता है। 3 आधार (लांबिक) फलनों से इसी प्रकार तीन कोटि की ऊर्जायें  $\bar{E}_1(3) \leq \bar{E}_2(3) \leq \bar{E}_3(3)$  प्राप्त होती हैं। निम्नलिखित में से जो संबंध होगा, वह है।
1.  $\bar{E}_1(2) \leq \bar{E}_1(3); \bar{E}_2(2) \leq \bar{E}_2(3)$
  2.  $\bar{E}_1(3) \leq \bar{E}_1(2); \bar{E}_2(2) \leq \bar{E}_2(3)$
  3.  $\bar{E}_1(2) \leq \bar{E}_1(3); \bar{E}_2(3) \leq \bar{E}_2(2)$
  4.  $\bar{E}_1(3) \leq \bar{E}_1(2); \bar{E}_2(3) \leq \bar{E}_2(2)$
139. Choosing some Hamiltonian  $H$  and an orthonormal basis, a linear variation is carried out to get approximate energies  $\bar{E}_j$ . With 2 basis functions, one obtains  $\bar{E}_1(2) \leq \bar{E}_2(2)$ . Taking 3 basis functions, similarly three ordered energies  $\bar{E}_1(3) \leq \bar{E}_2(3) \leq \bar{E}_3(3)$  are found. The relation which holds from the following is?
1.  $\bar{E}_1(2) \leq \bar{E}_1(3); \bar{E}_2(2) \leq \bar{E}_2(3)$
  2.  $\bar{E}_1(3) \leq \bar{E}_1(2); \bar{E}_2(2) \leq \bar{E}_2(3)$
  3.  $\bar{E}_1(2) \leq \bar{E}_1(3); \bar{E}_2(3) \leq \bar{E}_2(2)$
  4.  $\bar{E}_1(3) \leq \bar{E}_1(2); \bar{E}_2(3) \leq \bar{E}_2(2)$
140. 1-d बाक्स में उपस्थित कण की निम्नतम अवस्था में औसत संवेग का मान शून्य है क्योंकि
1.  $[p, H] = 0$
  2.  $V(\text{पॉटेन्शियल}) = 0$
  3.  $H$  हर्मिटी है
  4. अवस्था परिबन्ध तथा स्थिर है
140. Average value of momentum for the ground state of a particle in a 1-d box is zero because
1.  $[p, H] = 0$
  2.  $V(\text{potential}) = 0$

3.  $H$  is hermitian
4. the state is bound and stationary

141. एक हर्मिटी ऑपरेटर  $A$  जो हैमिल्टोनियन  $H$  के साथ कम्यूट नहीं करता है, के लिए मान लीजिए  $A$  का आइगन फलन  $\psi_1$  है तथा  $H$  का आइगन फलन  $\psi_2$  है।  $H$  के साथ  $A$  के कम्यूरेटर  $([A, H])$  के औसत मान के लिए सही कथन है
1. दोनों  $\langle \psi_1 | [A, H] | \psi_1 \rangle$  तथा  $\langle \psi_2 | [A, H] | \psi_2 \rangle$  अशून्य हैं।
  2. केवल  $\langle \psi_1 | [A, H] | \psi_1 \rangle$  शून्य हैं लेकिन  $\langle \psi_2 | [A, H] | \psi_2 \rangle$  अशून्य है।
  3. केवल  $\langle \psi_2 | [A, H] | \psi_2 \rangle$  शून्य हैं लेकिन  $\langle \psi_1 | [A, H] | \psi_1 \rangle$  अशून्य है।
  4. दोनों  $\langle \psi_1 | [A, H] | \psi_1 \rangle$  तथा  $\langle \psi_2 | [A, H] | \psi_2 \rangle$  शून्य हैं।
141. For a hermitian operator  $A$ , which does NOT commute with the Hamiltonian  $H$ , let  $\psi_1$  be an eigenfunction of  $A$  and  $\psi_2$  be an eigenfunction of  $H$ . The correct statement regarding the average value of the commutator of  $A$  with  $H$  ( $[A, H]$ ) is:
1. Both  $\langle \psi_1 | [A, H] | \psi_1 \rangle$  and  $\langle \psi_2 | [A, H] | \psi_2 \rangle$  are non-zero
  2. Only  $\langle \psi_1 | [A, H] | \psi_1 \rangle$  is zero, but  $\langle \psi_2 | [A, H] | \psi_2 \rangle$  is non-zero
  3. Only  $\langle \psi_2 | [A, H] | \psi_2 \rangle$  is zero, but  $\langle \psi_1 | [A, H] | \psi_1 \rangle$  is non-zero
  4. Both  $\langle \psi_1 | [A, H] | \psi_1 \rangle$  and  $\langle \psi_2 | [A, H] | \psi_2 \rangle$  are zero
142. हाइड्रॉक्सी अम्ल का संघनन एक पॉलीएस्टर उत्पन्न करता है जिसके दोनों छोर पर बंध प्रायिकता  $p$  है।  $k$ -mer चेन विचरण के लिए मोल भिन्न है
1.  $p^k$
  2.  $p(1-p)^{k-1}$
  3.  $p^{k-1}(1-p)$
  4.  $p^{k-1}$
142. The condensation of a hydroxy acid produces a polyester with the probability of linkage at both ends being  $p$ . The mole fraction of  $k$ -mer chain formation is
1.  $p^k$
  2.  $p(1-p)^{k-1}$
  3.  $p^{k-1}(1-p)$
  4.  $p^{k-1}$
143. हाइड्रोजन अणु के लिए सरल आण्विक आर्बिटल सिद्धांत के अनुसार आबन्धन  $\sigma_g$  तथा प्रतिआबन्धन  $\sigma_u$  आण्विक आर्बिटलों का निर्माण दो हाइड्रोजन परमाणुओं के परमाण्वीय आर्बिटलों के

रैखिक सम्मिश्रण से करते हैं। शुद्ध सहसंयोजी सिंगलेट तरंगफलन का त्रिविम स्थानिक भाग जिससे प्राप्त होता है, वह है

1.  $\sigma_g^2 + \sigma_u^2$
2.  $\sigma_g^2$
3.  $\sigma_g^2 - \sigma_u^2$
4.  $\sigma_g^2 + \frac{1}{2}\sigma_u^2$

143. In simple molecular orbital theory of hydrogen molecule, bonding  $\sigma_g$  and anti-bonding  $\sigma_u$  molecular orbitals are constructed as linear combinations of atomic orbitals of two hydrogen atoms. The spatial part of a purely covalent singlet wavefunction is obtained by

1.  $\sigma_g^2 + \sigma_u^2$
2.  $\sigma_g^2$
3.  $\sigma_g^2 - \sigma_u^2$
4.  $\sigma_g^2 + \frac{1}{2}\sigma_u^2$

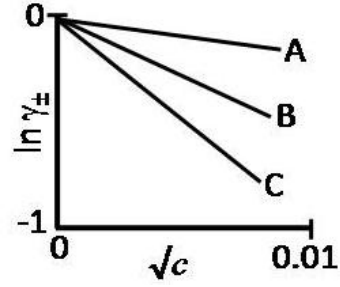
144. दो जलीय 1:1 विद्युत-अपघट्य निकाय A तथा B क्रमशः भिन्न तापों,  $T_A$  तथा  $T_B$  तथा सांद्रताओं  $C_A$  तथा  $C_B$  पर हैं। इनकी डेबाई लम्बाइयां समान होंगी, यदि

1.  $T_A = 2T_B$  तथा  $C_A = 2C_B$
2.  $T_A = 2T_B$  तथा  $C_A = C_B/2$
3.  $T_A = \sqrt{2}T_B$  तथा  $C_A = 2C_B$
4.  $T_A = 2T_B$  तथा  $C_A = \sqrt{2}C_B$

144. Two aqueous 1:1 electrolyte systems A and B are at different temperatures  $T_A$  and  $T_B$  and  $C_A$  and  $C_B$  concentrations, respectively. Their Debye lengths will be equal if

1.  $T_A = 2T_B$  and  $C_A = 2C_B$
2.  $T_A = 2T_B$  and  $C_A = C_B/2$
3.  $T_A = \sqrt{2}T_B$  and  $C_A = 2C_B$
4.  $T_A = 2T_B$  and  $C_A = \sqrt{2}C_B$

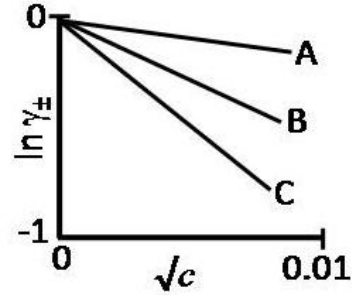
145. NaCl,  $\text{CaCl}_2$  तथा  $\text{LaCl}_3$  के जलीय विलयन, माध्य आयनिक सक्रियता गुणांक ( $\ln \gamma_{\pm}$ ) तथा मोलर सांद्रता ( $c$ ) के मध्य निम्नलिखित आरेख दर्शाते हैं।



तब सही विकल्प है

	NaCl	$\text{CaCl}_2$	$\text{LaCl}_3$
1.	C	B	A
2.	A	B	C
3.	A	C	B
4.	C	A	B

145. Aqueous solutions of NaCl,  $\text{CaCl}_2$  and  $\text{LaCl}_3$  show the following plots of logarithms of mean ionic activity coefficient ( $\ln \gamma_{\pm}$ ) vs. molar concentration ( $c$ ):



The correct option is then

	NaCl	$\text{CaCl}_2$	$\text{LaCl}_3$
1.	C	B	A
2.	A	B	C
3.	A	C	B
4.	C	A	B